

RECEPTOARE TRIFAZATE ÎN CONEXIUNEA TRIUNGHI

1. Scopul lucrării este studiul unui receptor trifazat cu conexiunea triunghi alimentat cu un sistem trifazat simetric de tensiuni. Se studiază relațiile care există între mărimile de linie și cele de fază (curenți și tensiuni) pentru receptorul echilibrat și dezechilibrat, și posibilitățile de măsurare a puterii active consumate de receptorul trifazat utilizând metoda celor trei wattmetre și metoda celor două wattmetre.

2. Considerații teoretice

Considerăm un receptor trifazat cu conexiunea triunghi ca în figura 1, care este alimentat cu un sistem trifazat simetric de tensiuni de linie \underline{U}_{12} , \underline{U}_{23} , \underline{U}_{31} . Conexiunea triunghi se obține prin conectarea începutului fiecărei faze cu sfârșitul fazei anterioare.

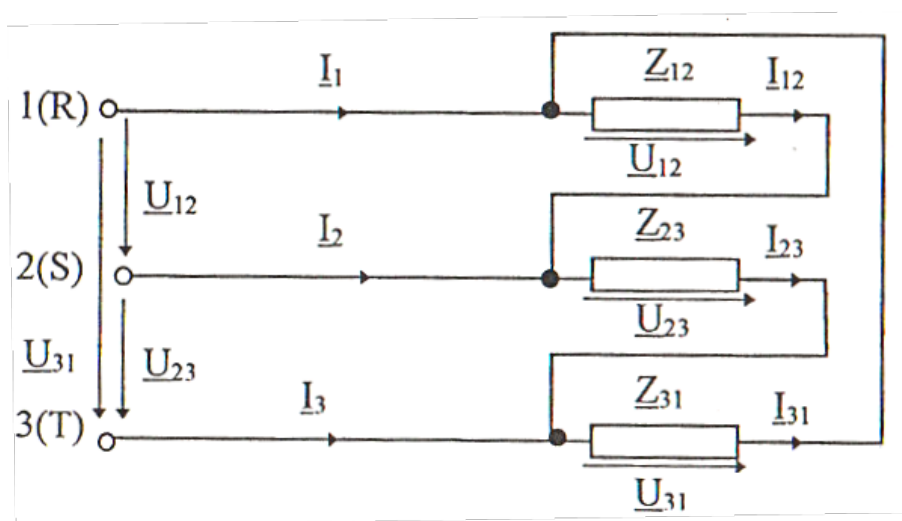


fig. 1.

Tensiunile de fază ale receptorului sunt respectiv egale cu tensiunile de linie ale rețelei de alimentare, adică:

$$\begin{aligned}\underline{U}_{12} &= \underline{U}_{RS} \\ \underline{U}_{23} &= \underline{U}_{ST} \\ \underline{U}_{31} &= \underline{U}_{TR}\end{aligned}$$

Curenții de linie \underline{I}_1 , \underline{I}_2 , \underline{I}_3 satisfac relația:

$$\underline{I}_1 + \underline{I}_2 + \underline{I}_3 = 0 \quad (1)$$

Între curenții de linie și curenții de fază ai receptorului, cu ajutorul teoremei de curenți a lui Kirchhoff aplicată în cele trei borne de acces ale receptorului, se stabilesc relațiile:

$$\begin{aligned} \underline{I}_1 &= \underline{I}_{12} - \underline{I}_{31} \\ \underline{I}_2 &= \underline{I}_{23} - \underline{I}_{12} \\ \underline{I}_3 &= \underline{I}_{31} - \underline{I}_{23} \end{aligned} \quad (2)$$

Dacă receptorul este rezistiv, curenții de fază sunt în fază cu tensiunile de fază corespunzătoare, adică cu tensiunile de linie ale rețelei de alimentare.

Se disting două cazuri:

2.1. Receptor echilibrat pentru care sunt valabile relațiile:

$$\begin{aligned} I_{12} &= I_{23} = I_{31} = I_f \\ I_1 &= I_2 = I_3 = I_l \\ I_l &= \sqrt{3} \cdot I_f \\ U_l &= U_f \end{aligned} \quad (3)$$

Curenții de linie \underline{I}_1 , \underline{I}_2 , \underline{I}_3 se pot determina pe cale grafică din diagrama fazorială prezentată în figura 2 considerând cunoscuți curenții de fază și utilizând relațiile (2).

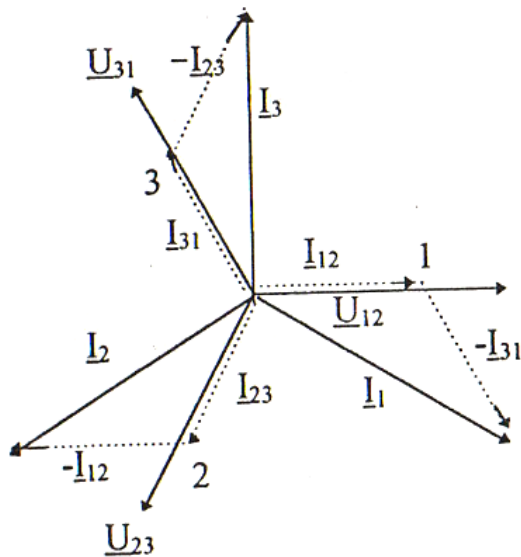


fig.2.

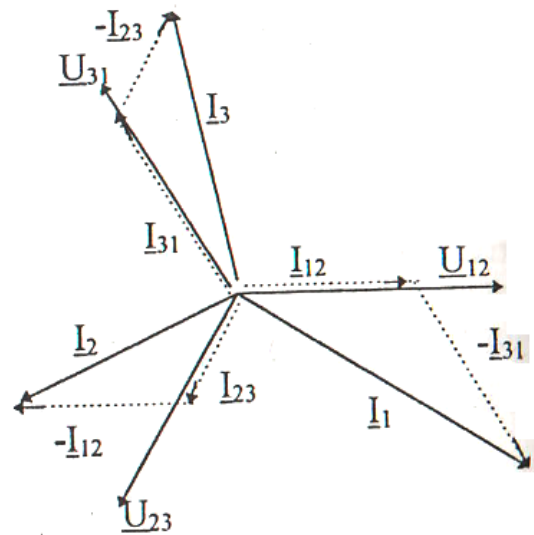


fig.3.

Curenții de fază și curenții de linie formează sisteme simetrice, ultimul fiind defazat de primul cu $\pi/6$ radiani.

2.2. Receptoare dezechilibrate

La încărcarea diferită a fazelor receptorului ($Z_{12} \neq Z_{23} \neq Z_{31}$), curenții de fază vor fi și ei diferiți ($I_{12} \neq I_{23} \neq I_{31}$).

Considerând cunoscute tensiunile de linie \underline{U}_{12} , \underline{U}_{23} , \underline{U}_{31} și curenții de fază \underline{I}_{12} , \underline{I}_{23} , \underline{I}_{31} se pot construi la scară diagramele fazoriale ale tensiunilor și curenților ca în figura 3.

Curenții de linie \underline{I}_1 , \underline{I}_2 , \underline{I}_3 se pot determina din diagrama fazorială prin compunere grafică, utilizând relațiile (2).

În cazul receptoarelor trifazate având fazele conectate în triunghi, puterea activă primită de la generator se poate măsura utilizând fie metoda celor trei wattmetre (comutatorul k fiind deschis), fie metoda celor două wattmetre (comutatorul k fiind închis) (fig.4).

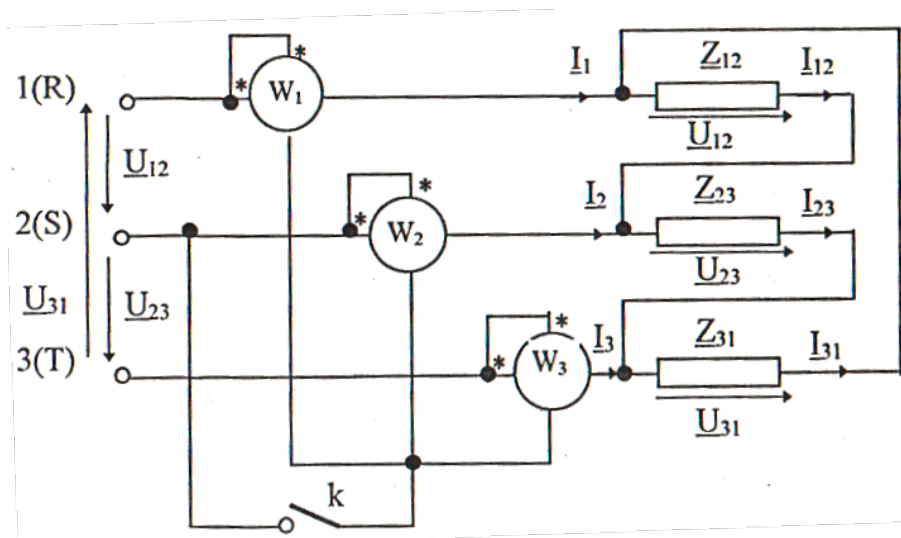


fig.4.

În cazul metodei celor trei wattmetre, indicațiile celor trei aparate nu sunt egale cu puterile active ale fazelor receptorului, dar suma lor reprezintă chiar puterea receptorului.

$$P = P_1 + P_2 + P_3 \quad (4)$$

Pentru a măsura puterea activă prin metoda celor două wattmetre, bobina de tensiune a wattmetrului 2 se scurtcircuitează și ca urmare indicația wattmetrului respectiv este nulă. Puterea activă primită de receptor va fi:

$$P = P_1' + P_3' = P' \quad (5)$$

Pentru un receptor pur rezistiv, puterea activă primită de receptor se poate determina și prin calcul cu relația:

$$P = P_c = U_{12} \cdot I_1 + U_{23} \cdot I_2 + U_{31} \cdot I_3 \quad (6)$$

3. Procedeu experimental

Se va realiza montajul din figura 5.

3.1. Receptor echilibrat

Se studiază un receptor echilibrat (rezistențele pe cele trei faze ale receptorului sunt egale).

Se verifică egalitatea curenților pe cele trei faze și relația existentă între curentul de linie și cel de fază.

Se va construi diagrama fazorială a tensiunilor și curenților și se vor calcula pe cale grafică curenții de linie I_1 , I_2 , I_3 .

Se va măsura puterea activă a receptorului trifazat prin cele două metode prezentate și se va compara valoarea măsurată cu cea calculată.

Datele obținute se trec în tabelul 1.

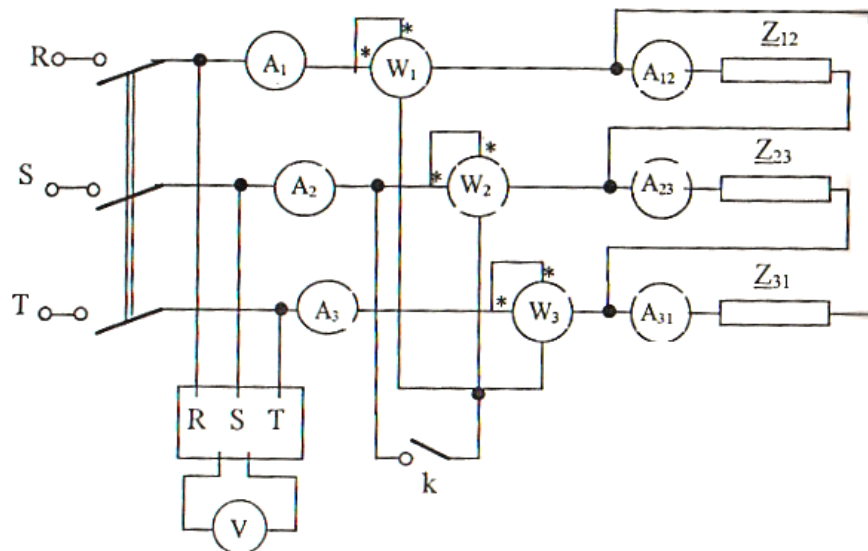


fig.5.

3.2. Receptoare dezechilibrate

Se studiază un 3 receptoare dezechilibrate:

- un receptor dezechilibrat încărcat pe toate fazele;
- un receptor dezechilibrat cu o fază întreruptă;
- un receptor dezechilibrat cu două faze întrerupte.

a. Se realizează o sarcină trifazată dezechilibrată prin modificarea rozetei reostatelor sau folosind receptoare de natură diferită pe cele trei faze (de exemplu un condensator, o bobină și o rezistență). Dezechilibrul se manifestă prin inegalitatea curenților de fază și ai celor de linie:

$$I_{12} \neq I_{23} \neq I_{31}$$

$$I_1 \neq I_2 \neq I_3$$

Se citesc indicațiile aparatelor, valorile trecându-se în tabelul 1.

Se măsoară puterea activă a receptorului prin cele două metode și se compară cu puterea activă calculată.

Tabelul 1.

| Tipul receptorului | Echilibrat $I_{12} = I_{23} = I_{31}$ | Dezechilibrat $I_{12} \neq I_{23} \neq I_{31}$ | Dezechilibrat $I_{12} = 0, I_{23} \neq I_{31}$ | Dezechilibrat $I_{12} = I_{23} = 0$ |
|--------------------|--|---|---|--|
| U_{12} [V] | | | | |
| U_{23} [V] | | | | |
| U_{31} [V] | | | | |
| I_{12} [A] | | | 0 | 0 |
| I_{23} [A] | | | | 0 |
| I_{31} [A] | | | | |
| I_1 [A] | | | | |
| I_2 [A] | | | | 0 |
| I_3 [A] | | | | |
| P_1 [W] | | | | |
| P_2 [W] | | | | |
| P_3 [W] | | | | |
| P_1' [W] | | | | |
| P_3' [W] | | | | |
| P [W] | | | | |
| P' [W] | | | | |
| I_{1C} [A] | | | | |
| I_{2C} [A] | | | | |
| I_{3C} [A] | | | | |
| P_C [W] | | | | |

Se consideră cunoscute tensiunile de linie U_{12} , U_{23} , U_{31} și curenții de fază I_{12} , I_{23} , I_{31} . Se vor construi la scară diagramele fazoriale pentru tensiuni și curenți, ca în figura 3 și se vor determina prin construcție grafică curenții de linie I_1 , I_2 , I_3 care se trec în tabelul 1. Se vor compara valorile determinate grafic pentru curenți cu valorile calculate ale acestora.

Pentru determinarea pe cale grafică a curenților de linie I_{1C} , I_{2C} , I_{3C} se ține cont de proprietatea curenților de fază I_{12} , I_{23} , I_{31} de a fi în fază cu tensiunile de fază corespunzătoare în cazul în care receptorul trifazat este pur rezistiv.

b. În cazul receptorului trifazat cu o fază întreruptă este evident că pe faza respectivă curentul este nul ($I_{12}=0$).

Se verifică dacă $I_1=I_{31}$ și $I_2=I_{23}$.

Se măsoară puterea activă consumată de receptor și se compară cu valoarea calculată a acesteia.

Se trasează diagrama fazorială și se determină curenții de linie prin calcul grafic: I_{1C} , I_{2C} , I_{3C} .

c. În cazul receptorului trifazat cu două faze întrerupte $I_{12} = I_{23} = 0$, se va verifica relația:

$$I_1 = I_3 = I_{31} \quad \text{și} \quad I_2 = 0$$

Se măsoară puterea activă a receptorului prin cele două metode și se compară valorile obținute cu cele determinate prin calcul.

Se trasează diagrama fazorială și se determină prin calcul grafic curenții de linie I_{1C} , I_{2C} , I_{3C} .

TRANSFERUL DE PUTERE IN CIRCUITE CUPLATE INDUCTIV

1.Scopul lucrării este determinarea puterii active transferate între două laturi cuplate inductiv și verificarea experimentală a bilanșului de puteri în circuitele cuplate magnetic.

2.Considerații teoretice

O bobină parcursă de curent se numește cuplată magnetic cu alte bobine dacă fluxul ei magnetic este funcție de intensitățile curenților prin celelalte bobine.

Bobinele cuplate magnetic se pot cupla astfel încât fluxurile lor magnetice proprii și mutuale să se adune (fig.1) sau să se scad (fig.2). În primul caz cuplajul este aditiv (cu flux aditiv) iar în al doilea caz cuplajul magnetic este în opoziție (cu flux magnetic diferențial). Tipul cuplajului (felul conectării) este determinat de sensul de înfășurare și de sensurile curenților din bobine.

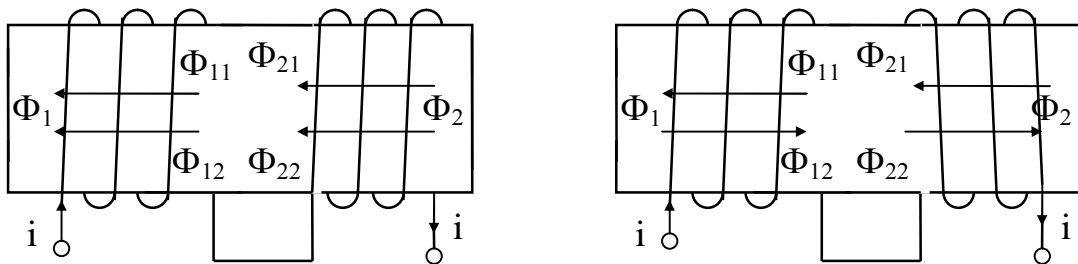


fig. 1

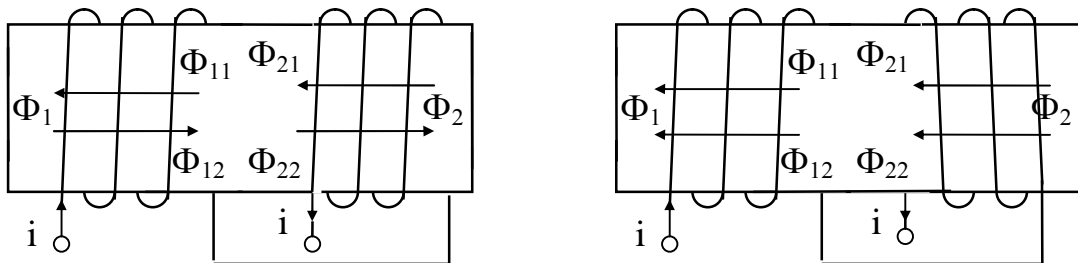


fig.2

Inductivitatea proprie a unei bobine este pozitivă și corespunde fluxului magnetic propriu ($\Phi_{pp} = L_{pp} i_p$) stabilit de curentul prin bobina dat când intensitățile curenților prin celelalte bobine sînt nule.

Inductivitatea mutuală corespunde fluxului magnetic mutual ($\Phi_k = L_{pk} i_k$) stabilit în bobină de curentul din celelalte bobine cu care aceasta este cuplată. Inductivitatea mutuală este pozitivă în cazul cuplajului adițional și este negativă în cazul cuplajului diferențial.

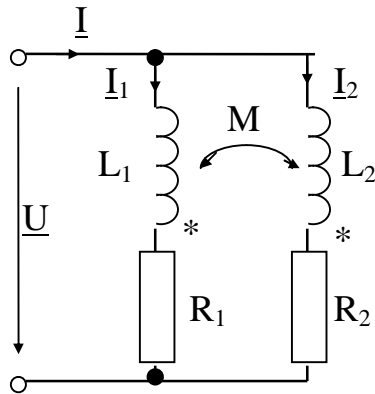


fig. 3

Considerăm un circuit conținând două bobine reale conectate în paralel și cuplate inductiv. În fig.3 L_1 , L_2 sunt inductivitățile proprii ale bobinelor, M este inductivitatea de cuplaj (mutuală), iar R_1 , R_2 rezistențele proprii ale bobinelor cuplate.

Ecuațiile circuitului în regim permanent sinusoidal în complex simplificat sunt:

$$\underline{U} = (R_1 + j \cdot \omega \cdot L_1) \cdot \underline{I}_1 + j \cdot \omega \cdot M \cdot \underline{I}_2 \quad (1)$$

$$\underline{U} = (R_2 + j \cdot \omega \cdot L_2) \cdot \underline{I}_2 + j \cdot \omega \cdot M \cdot \underline{I}_1 \quad (2)$$

Prin rezolvarea sistemului format din ecuațiile (1) și (2) rezultă soluțiile:

$$\underline{I}_1 = I_1 \cdot e^{j\gamma_1} \quad (3)$$

$$\underline{I}_2 = I_2 \cdot e^{j\gamma_2} \quad (4)$$

Puterea aparentă complexă $\underline{S} = \underline{U} \underline{I}$ se poate scrie pentru fiecare latură a circuitului. Pentru prima latură:

$$\underline{S}_1 = \underline{U} \cdot \underline{I}_1^* = [(R_1 + j \cdot \omega \cdot L_1) \cdot \underline{I}_1 + j \cdot \omega \cdot M \cdot \underline{I}_2] \cdot \underline{I}_1^* \quad (5)$$

Deoarece $\underline{I}_1 \cdot \underline{I}_1^* = I_1^2$ și $\theta = \gamma_1 - \gamma_2$ rezultă:

$$\begin{aligned} \underline{S}_1 &= R_1 \cdot I_1^2 + j \cdot \omega \cdot L_1 \cdot I_1^2 + j \cdot \omega \cdot M \cdot I_1 \cdot I_2 \cdot e^{-j\theta} = \\ &= R_1 \cdot I_1^2 + \omega \cdot M \cdot I_1 \cdot I_2 \cdot \sin\theta + j \cdot (\omega \cdot L_1 \cdot I_1^2 + \omega \cdot M \cdot I_1 \cdot I_2 \cdot \cos\theta) \end{aligned} \quad (6)$$

Deci puterea activă și reactivă a primei laturi se poate scrie:

$$P_1 = \text{Re}[\underline{S}_1] = R_1 \cdot I_1^2 + \omega \cdot M \cdot I_1 \cdot I_2 \cdot \sin\theta \quad (7)$$

$$Q_1 = \text{Im}[\underline{S}_1] = \omega \cdot L_1 \cdot I_1^2 + \omega \cdot M \cdot I_1 \cdot I_2 \cdot \cos\theta \quad (8)$$

Analog, scriind puterea aparent complex pentru cea de a doua latur , vor rezulta puterile activ i reactiv corespunzatoare :

$$P_2 = \text{Re}[\underline{S}_2] = R_2 \cdot I_2^2 - \omega \cdot M \cdot I_1 \cdot I_2 \cdot \sin\theta \quad (9)$$

$$Q_2 = \text{Im}[\underline{S}_2] = \omega \cdot L_2 \cdot I_2^2 + \omega \cdot M \cdot I_1 \cdot I_2 \cdot \cos\theta \quad (10)$$

Se constată c între laturile circuitului există un transfer de putere activ , a carei valoare este dată de termenul care apare în expresiile puterilor active a celor două laturi cu semne contrare. Aceasta semnific faptul c una din laturi primeşte putere activ iar cealaltă cedează aceeaşi putere activ .

Puterea activ consumată pe o latură a circuitului este compusă atât din puterea activ proprie ($R_1 I_1^2$ respectiv $R_2 I_2^2$) cât şi din puterea activ transferată datorită cuplajului (termenul $\omega M I_1 I_2 \sin\theta$).

Expresia puterii active transferate este :

$$P_{tr} = \omega \cdot M \cdot I_1 \cdot I_2 \cdot \sin\theta \quad (11)$$

Această putere (P_{tr}) dispare de pe o latură a circuitului şi se regăseşte integral în cealaltă latură , astfel încât puterea activă a întregului circuit este:

$$P = P_1 + P_2 = R_1 \cdot I_1^2 + R_2 \cdot I_2^2 \quad (12)$$

Puterea reactivă a întregului circuit are expresia:

$$Q = Q_1 + Q_2 = \omega \cdot L_1 \cdot I_1^2 + \omega \cdot L_2 \cdot I_2^2 + 2 \cdot \omega \cdot M \cdot I_1 \cdot I_2 \cdot \cos\theta \quad (13)$$

3. Procedeu experimental

Pentru determinarea puterii transferate între două laturi cuplate ale unui circuit, este necesar mai întâi cunoaşterea parametrilor proprii ai laturilor, adică R_1, R_2, L_1, L_2 .

În fig.4 este prezentată schema de montaj şi aparatura utilizată .

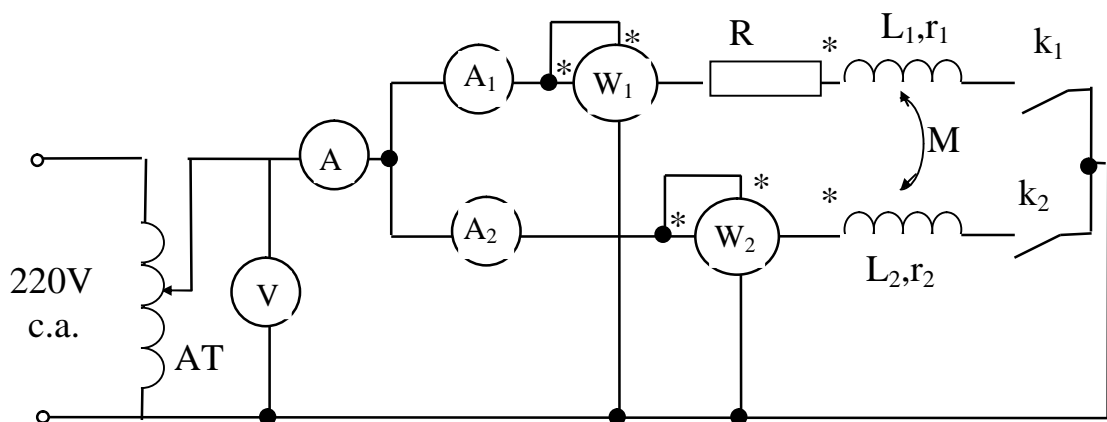


fig.4

3.1 Se determină parametrii proprii (R_1, R_2 și L_1, L_2) ai celor două laturi.

Pentru aceasta se procedează astfel:

- Se închide k_1 (k_2 deschis)
- Se alimentează montajul prin intermediul autotransformatorului AT.
- Se calculează parametrii proprii ai primei laturi cu relațiile:

$$R_1 = \frac{P_1}{I_1^2} \quad ; \quad \omega \cdot L_1 = X_1 = \frac{Q_1}{I_1^2} = \frac{\sqrt{(U_1 \cdot I_1)^2 - P_1^2}}{I_1^2} \quad (14)$$

-Se închide k_2 (k_1 deschis) și se procedează ca mai sus, determinându-se parametrii proprii ai celei de a doua laturi.

$$R_2 = \frac{P_2}{I_2^2} \quad ; \quad \omega \cdot L_2 = X_2 = \frac{Q_2}{I_2^2} = \frac{\sqrt{(U_2 \cdot I_2)^2 - P_2^2}}{I_2^2} \quad (15)$$

Cu măsurătorile experimentale și valorile calculate pentru parametrii proprii ai laturilor se completează tabelul 1.

Tabelul 1

| Nr.crt | U_1 | I_1 | P_1 | U_2 | I_2 | P_2 | R_1 | R_2 | X_1 | X_2 |
|--------|-------|-------|-------|-------|-------|-------|-------|-------|-------|-------|
| 1. | | | | - | - | - | | - | | - |
| 2. | - | - | - | | | | - | | - | |

3.2 Se determină puterea activ transferată între cele două laturi cuplate.

Se procedează astfel :

a. În cazul cuplajului adițional ($M > 0$)

- Se închid k_1 și k_2
- Se alimentează montajul prin intermediul autotransformatorului;
- Se determină puterile transferate între cele două laturi:

$$P_{tr1} = P_1 - R_1 \cdot I_1^2 = \omega \cdot M \cdot I_1 \cdot I_2 \cdot \sin \theta \quad (16)$$

$$P_{tr2} = R_2 \cdot I_2^2 - P_2 = \omega \cdot M \cdot I_1 \cdot I_2 \cdot \sin \theta \quad (17)$$

Se verifică relația :

$$P_1 + P_2 = R_1 \cdot I_1^2 + R_2 \cdot I_2^2 \quad (18)$$

-Se determină creșterea puterii reactive a întregului circuit datorat cuplajului.

$$UQ = Q - X_1 \cdot I_1^2 - X_2 \cdot I_2^2 = \sqrt{(U \cdot I)^2 - (P_1 + P_2)^2} - X_1 \cdot I_1^2 - X_2 \cdot I_2^2$$

$$UQ = 2 \cdot \omega \cdot M \cdot I_1 \cdot I_2 \cdot \cos\theta \quad (19)$$

-Se determină reactanța de cuplaj:

$$\omega \cdot M = X_M = \frac{1}{2 \cdot I_1 \cdot I_2} \cdot \sqrt{(P_{tr1} + P_{tr2})^2 + UQ^2} \quad (20)$$

În cazul cuplajului adițional datele se trec în tabelul 2.

Tabelul 2

| VALORI MASURATE | | | | | | VALORI CALCULATE | | | | | |
|-----------------|----------|-----------------------|-----------------------|-----------------------|-----------------------|-------------------------|-------------------------|--------------------------|------------|-----------------------|--|
| U [V] | I [A] | I ₁ [A] | I ₂ [A] | P ₁ [W] | P ₂ [W] | P _{tr1} [W] | P _{tr2} [W] | P _{1+P2} [W] | Q [VAr] | X _M [W] | R ₁ I ₁ ² + R ₂ I ₂ ² [W] |
| | | | | | | | | | | | |

Valorile calculate în acest tabel trebuie să verifice relațiile:

$$P_{tr1} = P_{tr2} \quad (21)$$

$$P_1 + P_2 = R_1 \cdot I_1^2 + R_2 \cdot I_2^2 \quad (22)$$

b. În cazul cuplajului diferențial ($M < 0$).

Pentru a obține un cuplaj diferențial se inversează bornele la una din bobine, deci se inversează sensul de circulație al curentului prin bobina respectiv.

-Se închid k_1 și k_2 și se procedează ca la 3.2 a.

În cazul cuplajului diferențial relațiile devin:

$$P'_{tr1} = R_1 \cdot I_1'^2 - P'_1 \quad (23)$$

$$P'_{tr2} = P'_2 - R_2 \cdot I_2'^2 \quad (24)$$

$$P'_1 + P'_2 = R_1 \cdot I_1'^2 + R_2 \cdot I_2'^2 \quad (25)$$

$$UQ' = -\sqrt{(U' \cdot I')^2 - (P'_1 + P'_2)^2} + X_1 \cdot I_1'^2 + X_2 \cdot I_2'^2 \quad (26)$$

$$X_M = \frac{1}{2 \cdot I_1' \cdot I_2'} \cdot \sqrt{(P_{tr1}' + P_{tr2}')^2 + UQ'^2} \quad (27)$$

În cazul cuplajului diferențial ($M < 0$) datele se trec în tabelul 3.

Tabelul 3

| VALORI MASURATE | | | | | | VALORI CALCULATE | | | | | |
|-----------------|-----|------------------|------------------|------------------|------------------|--------------------|--------------------|-------------------------------------|-----------------|----------------|---|
| U' | I' | I ₁ ' | I ₂ ' | P ₁ ' | P ₂ ' | P _{tr1} ' | P _{tr2} ' | P ₁ ' + P ₂ ' | Q' | X _M | R ₁ · I ₁ ' ² + R ₂ · I ₂ ' ² |
| [V] | [A] | [A] | [A] | [W] | [W] | [W] | [W] | [W] | V _{Ar} | [W] | [W] |
| | | | | | | | | | | | |

Se vor verifica și în acest caz relațiile:

$$P_{tr1}' = P_{tr2}' \quad (28)$$

$$P_1' + P_2' = R_1 \cdot I_1'^2 + R_2 \cdot I_2'^2 \quad (29)$$

STUDIUL REGIMULUI TRANZITORIU IN CIRCUITE R L C LINIARE

1. Scopul lucrării este studiul regimului tranzitoriu cu condiții inițiale de repaus al unui circuit liniar serie RLC. Pentru vizualizarea pe ecranul osciloscopului, regimul tranzitoriu este periodicizat prin alimentarea circuitului cu o tensiune periodică în formă de impulsuri dreptunghiulare (undă dreptunghiulară) .

2. Considerații teoretice

Se consideră un circuit serie conținând un rezistor înseriat cu o grupare serie formată din două elemente conservative de circuit: o bobină și un condensator (fig.1). Circuitul este alimentat de la un generator de tensiune continuă E. Inițial circuitul se află în condiții de repaus, adică:

$$i(0_-) = 0 ; \quad q(0_-) = 0 \quad (1)$$

La momentul $t=0$, întrerupătorul k se închide circuitul fiind alimentat cu tensiunea E. Ecuația care caracterizează funcționarea circuitului în regimul tranzitoriu care se produce se obține prin aplicarea teoremei de tensiuni a lui Kirchhoff:

$$u_R + u_L + u_C = E \quad (2)$$

sau:

$$L \cdot \frac{di}{dt} + R \cdot i + \frac{1}{C} \cdot \int i \cdot dt = E \quad (3)$$

Notând cu q sarcina electrică a armăturii condensatorului, intensitatea curentului este: $i = \frac{dq}{dt}$, deci ecuația (3) devine:

$$L \cdot \frac{d^2q}{dt^2} + R \cdot \frac{dq}{dt} + \frac{q}{C} = E \quad (4)$$

Circuitul analizat având două elemente conservative este caracterizat de o ecuație diferențială de ordin doi, deci este un circuit de ordin doi.

Se notează :

$$\omega_0^2 = \frac{1}{L \cdot C} \quad (5)$$

$$2 \cdot \alpha = \frac{R}{L} \quad (6)$$

în care: α este constanta de atenuare;

ω_0 este pulsația de rezonanță.

Cu aceste notații, ecuația (4) devine:

$$\frac{d^2q}{dt^2} + 2 \cdot \alpha \cdot \frac{dq}{dt} + \omega_0^2 \cdot q = \frac{E}{L} \quad (7)$$

Cunoscând sarcina electrică a armăturii condensatorului se deduc tensiunile la bornele condensatorului, rezistorului și bobinei:

$$u_C = \frac{q}{C} \quad (8)$$

$$u_R = R \cdot \frac{dq}{dt} = R \cdot C \cdot \frac{du_C}{dt} \quad (9)$$

$$u_L = L \cdot \frac{di}{dt} = \frac{L}{R} \cdot \frac{du_R}{dt} \quad (10)$$

Polinomul caracteristic atașat ecuației (7) este:

$$p^2 + 2 \cdot \alpha \cdot p + \omega_0^2 = 0 \quad (11)$$

cu soluțiile:

$$p_{1,2} = -\alpha \pm \sqrt{\alpha^2 - \omega_0^2} \quad (12)$$

numite pulsații naturale ale circuitului.

Soluția polinomului caracteristic atașat acestei ecuații se poate discuta în funcție de parametrul α . Se disting 3 regimuri de variație în timp ale răspunsului liber al circuitului:

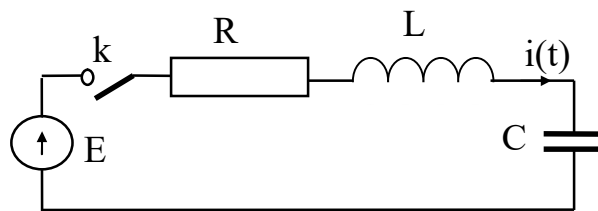


fig.1

a. regim periodic amortizat, dacă $\alpha < \omega_0$ sau $R < R_c$ unde :

$$R_c = 2 \cdot \sqrt{\frac{L}{C}} \quad (13)$$

reprezintă rezistența critică de amortizare a circuitului.

Tensiunea la bornele celor 3 elemente de circuit se vor determina pe baza relațiilor (8), (9) și (10):

$$u_C = E \cdot \left[1 - \frac{1}{\omega \cdot \sqrt{L \cdot C}} \cdot e^{-\alpha \cdot t} \cdot \sin(\omega \cdot t + \gamma) \right] \quad (14)$$

$$u_R = -\frac{E \cdot \alpha}{\omega} \cdot e^{-\alpha \cdot t} \cdot \sin \omega \cdot t \quad (15)$$

$$u_L = \frac{E}{\omega \cdot \sqrt{L \cdot C}} \cdot e^{-\alpha \cdot t} \cdot \sin(\omega \cdot t - \gamma) \quad (16)$$

în care: $\omega = \sqrt{\omega_0^2 - \alpha^2}$ și $\gamma = \arctg \frac{j \cdot \omega}{\alpha}$ (17)

Graficele de variație în timp a acestor semnale sunt prezentate în fig.2.

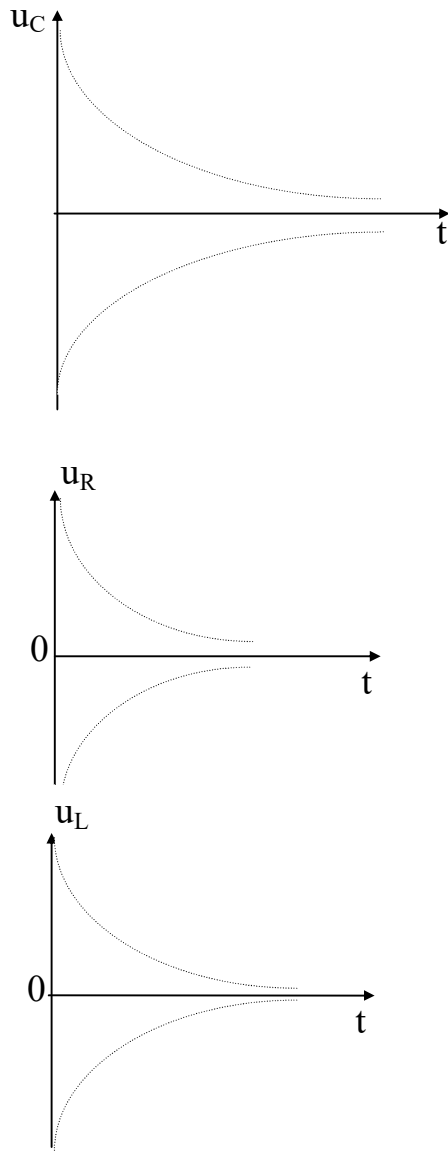


fig.2

Se constată că toate cele trei semnale au ca înfășurătoare două exponențiale descrescătoare cu aceeași constantă de timp.

Tensiunea pe condensator nu prezintă discontinuități. Ea pornește din punctul de ordonată $-E$ la momentul $t=0$, tangențial la abscisă. Nici tensiunea la bornele rezistorului nu prezintă discontinuități, ea pornind la $t=0$ din valoarea 0 cu o pantă:

$$\left(\frac{du_R}{dt} \right)_{t=0} = 4 \cdot E \cdot \alpha \cdot \omega_0.$$

Tensiunea la bornele bobinei prezintă o discontinuitate. Ea pornește la momentul $t=0$ de la o valoare apropiată de $2E$.

Evident, între tensiunea la bornele condensatorului și curentul în circuit există relația :

$$i = C \cdot \frac{du}{dt} \quad (18)$$

Din această relație rezultă că momentele trecerilor prin zero ale curentului sunt momente de extrem (maxim sau minim) ale tensiunii la bornele condensatorului. Aceste momente se succed la intervale de timp egale cu jumătatea perioadei oscilațiilor amortizate ale circuitului, adică

$$t_k = k \cdot \frac{T}{2}, \text{ unde:}$$

$$T = \frac{2 \cdot \pi}{\omega} = \frac{2 \cdot \pi}{\sqrt{\omega_0^2 - \alpha^2}} \quad (19)$$

Variația în timp a semnalelor oscilații amortizate este caracterizată prin decrementul logaritm al oscilațiilor stabilit din amplitudinile relative a două maxime succesive:

$$\delta = \frac{1}{T} \cdot \ln \left| \frac{U_{m1}}{U_{m2}} \right| = \frac{1}{T} \cdot \ln \left| \frac{U_{m2}}{U_{m3}} \right| = \dots \quad (20)$$

Semnificația mărimilor din această relație se observă în fig. 2.

b. regim aperiodic, dacă $\alpha > \omega_0$, respectiv $R > R_c$.

Cu relațiile (8), (9) și (10) se determină tensiunile la bornele condensatorului, rezistorului și bobinei:

$$u_C = E \cdot \left[1 - \frac{e^{-\alpha \cdot t}}{\beta \cdot \sqrt{L \cdot C} \cdot \text{sh}(\beta \cdot t + \gamma)} \right] \quad (21)$$

$$u_R = -\frac{2 \cdot \alpha}{\beta} \cdot E \cdot e^{-\alpha \cdot t} \cdot \text{sh} \beta \cdot t \quad (22)$$

$$u_L = \frac{1}{\beta \cdot \sqrt{L \cdot C}} \cdot E \cdot e^{-\alpha \cdot t} \cdot \text{sh}(\beta \cdot t - 2 \cdot \gamma) \quad (23)$$

în care $\beta = \sqrt{\alpha^2 - \omega_0^2}$

În fig.3 sunt prezentate formele de undă ale acestor semnale.

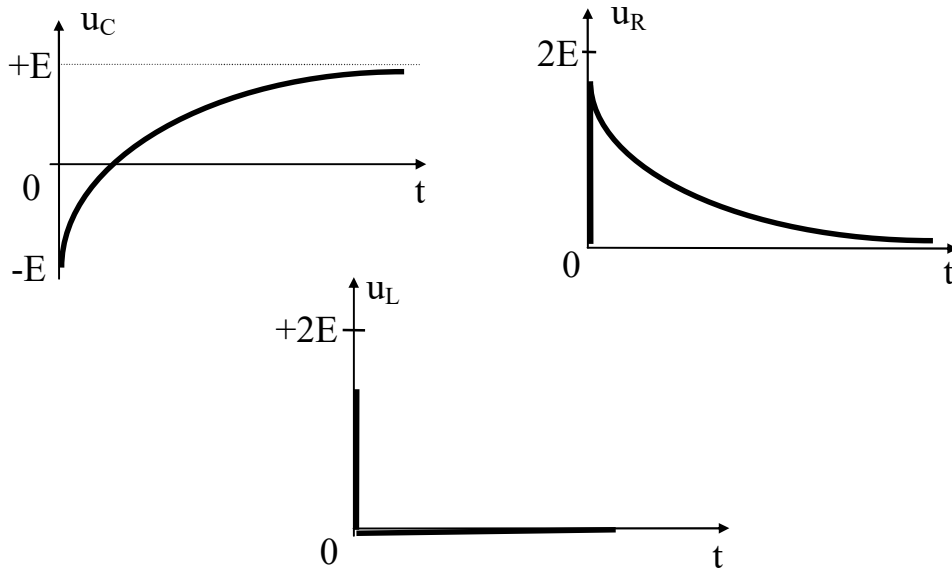


fig.3

Se constată că toate semnalele sunt aperiodice și amortizate în timp. Tensiunea pe rezistență, deci curentul în circuit are o valoare maximă la momentul $t_m = \frac{\gamma}{\beta}$. Această valoare este:

$$I_m = \left| -e^{-\alpha \cdot \frac{\gamma}{\beta}} \cdot \frac{E}{\sqrt{\frac{L}{C}}} \right| \quad (24)$$

c. regim aperiodic critic, dacă $\alpha=\omega_0$, $\beta=0$, $\gamma=0$ respectiv $R=R_c$.

În acest caz căderile de tensiune la bornele condensatorului, rezistorului și bobinei au expresiile:

$$u_C = (1 + \alpha \cdot t) \cdot E \cdot e^{-\alpha \cdot t} \quad (25)$$

$$u_R = -\alpha \cdot t \cdot E \cdot e^{-\alpha \cdot t} \quad (26)$$

$$u_L = (-1 + \alpha \cdot t) \cdot E \cdot e^{-\alpha \cdot t} \quad (27)$$

Graficele de variație în timp ale acestor tensiunii sunt prezentate în fig.4.

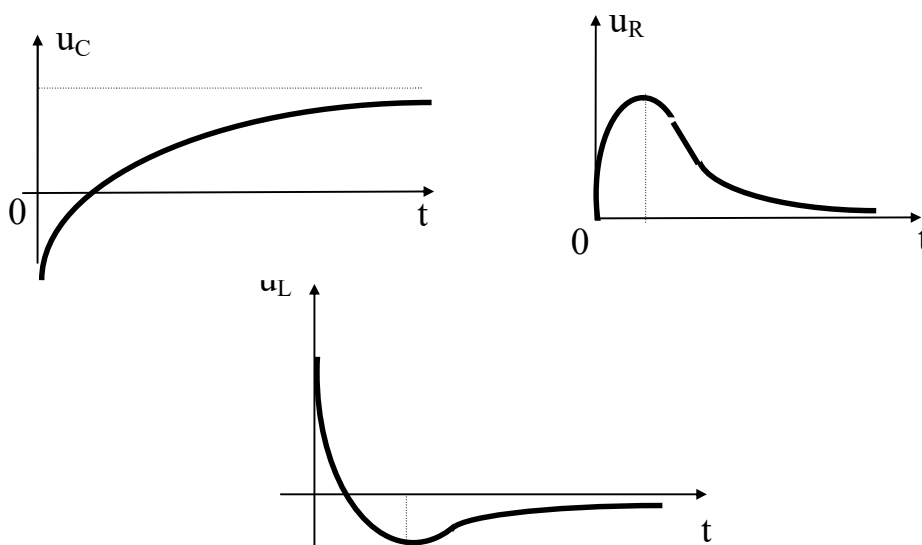


fig.4

3. Procedeu experimental

3.1. Se realizează circuitul din fig.5 alimentat cu un semnal dreptunghiular. Astfel se va obține câte un regim tranzitoriu pentru fiecare variație prin salt a tensiunii de alimentare E.

Se oscilografiază tensiunea la bornele condensatorului, rezistorului și bobinei în cazul circuitului funcționând în regim aperiodic, aperiodic critic și oscilant amortizat. Cele 3 regimuri tranzitorii de funcționare ale circuitului RLC serie se obțin prin variația rezistenței R a circuitului.

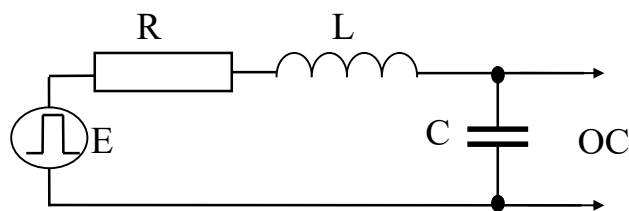


fig.5

Se consideră inițial rezistența exterioară $R=0$, în circuit rămânând numai rezistența proprie a bobinei. Această situație corespunde regimului oscilant amortizat, pentru care este îndeplinită relația (13).

Se crește progresiv valoarea rezistenței R , observând modificarea formei de undă a tensiunii pe condensator în cazul regimului aperiodic critic ($R=R_C$), respectiv aperiodic ($R>R_C$).

3.2. Se determină parametrii regimului oscilant.

Din oscilograma din fig.2, măsurând distanța între două maxime sau două minime succesive, se determină perioada, respectiv pulsația proprie a oscilațiilor $\omega = \frac{2 \cdot \pi}{T}$.

Factorul de amortizare se stabilește din amplitudinile relative a două maxime succesive și se calculează cu relația (20)

Cu relația (17) se determină pulsația oscilațiilor libere neamortizate ω_0 .

Rezultatele experimentale se trec în tabelul 2 iar mărimile calculate se trec în tabelul 1. Valorile experimentale determinate pentru δ , ω și ω_0 cum s-a arătat mai sus, se compară cu valorile teoretice obținute cu relațiile (5), (6) și (17), utilizând parametrii R , L și C ai circuitului.

Tabelul 1

| PARAMETRII CIRCUITULUI | | | VALORI TEORETICE | | | |
|-----------------------------|------------|------------|---------------------|--------------------------------|-----------------------|-----------------------|
| $R=R_C+R_L$ [Ω] | C [F] | L [H] | ω [rad/s] | δ [s ⁻¹] | ω_0 [rad/s] | R_C [Ω] |
| | | | | | | |
| | | | | | | |

Tabelul 2

| VALORI DETERMINATE EXPERIMENTAL | | | | | | | | |
|---------------------------------|------------|-----------------|-----------------|-----------------|-----------------|---------------------|--------------------------------|-----------------------|
| R_C [Ω] | T [s] | U_{m0} [V] | U_{m1} [V] | U_{m2} [V] | U_{m3} [V] | ω [rad/s] | δ [s ⁻¹] | ω_0 [rad/s] |
| | | | | | | | | |

CIRCUITE LINIARE DERIVAȚIE ÎN REGIM SINUSOIDAL REZONANȚA DE CURENȚI

1. SCOPUL LUCRĂRII

Scopul lucrării este de a studia comportarea unui circuit liniar RLC paralel în regim permanent sinusoidal și a regimului de rezonanță obținut pentru acest circuit, rezonanța de curenți.

2. CONSIDERAȚII TEORETICE

Considerăm un circuit paralel format dintr-un rezistor ideal având rezistența R , o bobină ideală cu inductivitatea L și un condensator ideal având capacitatea C (vezi figura 1). Alimentăm acest circuit cu o tensiune sinusoidală de forma:

$$u = \sqrt{2} \cdot U \cdot \sin(\omega \cdot t) \quad (1)$$

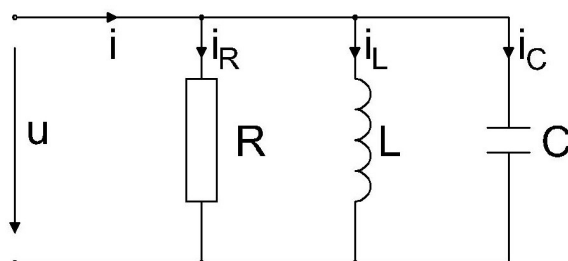


Fig. 1.

Prima teoremă a lui Kirchoff în nodul superior se scrie:

$$i = i_R + i_L + i_C \quad (2)$$

unde:

$$i_R = \frac{u}{R} = G \cdot u; \quad i_L = \frac{1}{L} \cdot \int u \cdot dt; \quad i_C = C \cdot \frac{du}{dt} \quad (3)$$

sunt curenții prin rezistor, bobină și condensator, exprimați în funcție de tensiunea u și de parametrii circuitului.

Înlocuind (3) în (2) obținem:

$$i = G \cdot u + C \cdot \frac{du}{dt} + \frac{1}{L} \cdot \int u \cdot dt \quad (4)$$

În complex simplificat ecuația integral-derivată (4) ia forma:

$$\underline{I} = G \cdot \underline{U} + j \cdot \omega \cdot C \cdot \underline{U} + \frac{1}{j \cdot \omega \cdot L} \cdot \underline{U} \quad (5)$$

unde:

$$\underline{U} = U \cdot e^{j\omega t}; \quad \underline{I} = I \cdot e^{j\gamma_i}; \quad \underline{I}_R = G \cdot \underline{U}; \quad \underline{I}_C = j \cdot \omega \cdot C \cdot \underline{U}; \quad \underline{I}_L = \frac{1}{j \cdot \omega \cdot L} \cdot \underline{U}$$

sunt valorile complexe ale tensiunii sinusoidale la borne, ale curentului total și expresiile complexe ale curenților prin rezistor, condensator și bobină.

Se definește admitanța complexă:

$$\underline{Y} = \frac{\underline{I}}{\underline{U}} = G + j \cdot \left(\omega \cdot C - \frac{1}{\omega \cdot L} \right) = G + j \cdot B \quad (6)$$

unde: $B = \omega \cdot C - \frac{1}{\omega \cdot L}$ este susceptanța echivalentă a circuitului.

Admitanța complexă \underline{Y} mai poate fi scrisă sub următoarea formă:

$$\underline{Y} = Y \cdot e^{j\varphi} = \sqrt{G^2 + B^2} \cdot e^{j\varphi} = Y \cdot (\cos \varphi + j \cdot \sin \varphi) \quad (7)$$

unde:

$$\varphi = \arctg \frac{B}{G} = \arctg \frac{\omega \cdot C - \frac{1}{\omega \cdot L}}{G} \quad (8)$$

este unghiul de defazaj între I și U , deci putem scrie:

$$\underline{I} = \underline{Y} \cdot \underline{U} = Y \cdot e^{j\varphi} \cdot U \cdot e^{j\cdot 0} = Y \cdot U \cdot e^{j\varphi} = I \cdot e^{j\gamma_i} \quad (9)$$

unde:

$$I = Y \cdot U \quad \text{și} \quad \gamma_i = \varphi \quad (10)$$

Condiția de rezonanță a circuitului este:

$\text{Im}(\underline{Y}) = 0$, echivalentă cu $B = 0$ sau:

$$\omega \cdot C - \frac{1}{\omega \cdot L} = 0 \quad \text{și} \quad \varphi = 0 \quad (11)$$

Pulsația de rezonanță ω_0 este dată de expresia:

$$\omega_0 = \frac{1}{\sqrt{L \cdot C}} \quad (12)$$

Rezonanța paralel se numește rezonanță de curenți. Curenții prin bobină și condensator au valori egale și semne contrare, după cum urmează:

$$\underline{I}_L + \underline{I}_C = j \cdot \left(\omega \cdot C - \frac{1}{\omega \cdot L} \right) \cdot \underline{U} = 0 \quad (13)$$

Rezonanța se poate obține fie prin variația frecvenței ($f = \frac{\omega}{2 \cdot \pi}$), deci a pulsației tensiunii de alimentare, fie prin variația parametrilor (inductivitatea L a bobinei sau capacitatea C a condensatorului).

În cazul real când bobina are, pe lângă inductivitatea L și o rezistență R , schema se prezintă ca cea din figura 2.

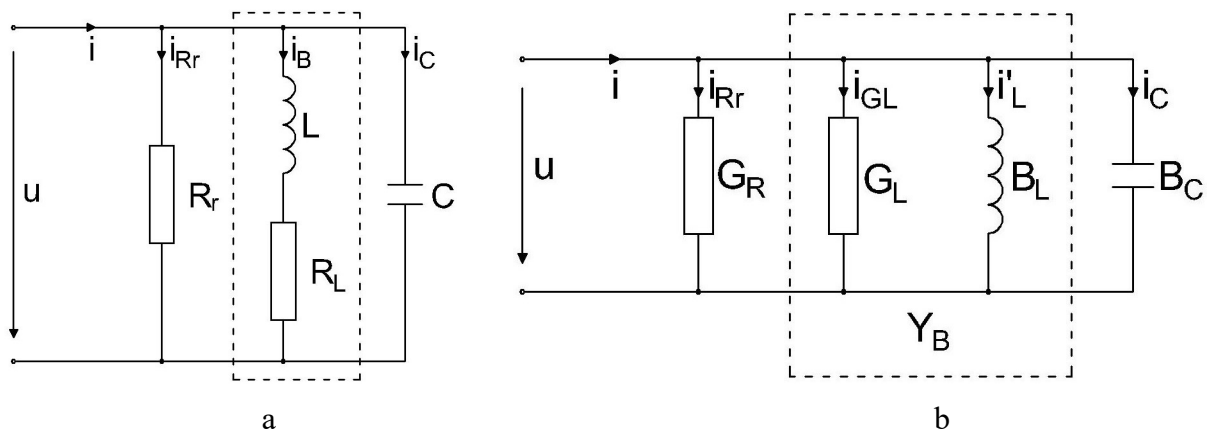


Fig. 2.

Bobina poate fi înlocuită printr-o schemă echivalentă paralel, ca în figura 2.b. urmărind relațiile (14), (15), (16):

$$\underline{Z}_B = R_L + j \cdot \omega \cdot L = R_L + j \cdot X_L \quad \underline{Z}_B = \sqrt{R_L^2 + \omega^2 \cdot L^2} \quad (14)$$

$$\underline{Y}_B = \frac{1}{\underline{Z}_B} = \frac{1}{R_L + j \cdot \omega \cdot L} = \frac{R_L + j \cdot \omega \cdot L}{R_L^2 + \omega^2 \cdot L^2} = \frac{R_L}{Z_B^2} - j \cdot \frac{\omega \cdot L}{Z_B^2} = G_L + j \cdot B_L \quad (15)$$

unde: $G_L = \frac{R_L}{Z_B^2}$ și $B_L = -\frac{\omega \cdot L}{Z_B^2} = \frac{X_L}{Z_B^2}$ (16)

Celelalte elemente ale schemei 2.b. sunt:

$$G_R = \frac{1}{R_r} \quad \text{și} \quad B_C = \omega \cdot C$$

Schema din figura 2.b. poate fi pusă sub forma prezentată în figura 1, după cum se observă în figura 3.

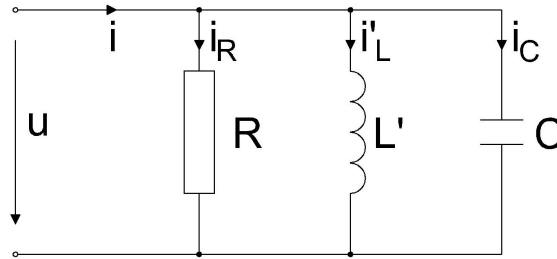


Fig. 3.

unde: $R = \frac{1}{G_R + G_L}$ (17)

Valoarea inductivității echivalente L' se calculează din egalitatea:

$$B_L = -\frac{\omega \cdot L}{R_L^2 + \omega^2 \cdot L^2} = -\frac{1}{\omega \cdot L'} \quad (18)$$

de unde rezultă:

$$L' = \frac{R_L^2 + \omega^2 \cdot L^2}{\omega^2 \cdot L} \quad (19)$$

Condiția de rezonanță este cea din relația (11).

$$\omega \cdot C - \frac{1}{\omega \cdot L'} = 0 \quad \text{sau} \quad \omega \cdot C - \frac{\omega \cdot L}{R_L^2 + \omega^2 \cdot L^2} = 0 \quad (20)$$

deci pulsația de rezonanță va fi:

$$\omega = \frac{1}{\sqrt{L \cdot C}} \cdot \frac{\sqrt{\frac{L}{C} - R_L^2}}{\sqrt{\frac{L}{C}}} \quad (21)$$

Pentru circuitul din figura 2.b. se poate scrie următoarea ecuație în complex, echivalentă ecuației (5):

$$\underline{I} = \underline{I}_{Rr} + \underline{I}_{GL} + \underline{I}'_L + \underline{I}_C \quad (22)$$

$$\underline{I} = G_R \cdot \underline{U} + G_L \cdot \underline{U} + j \cdot B_L \cdot \underline{U} + j \cdot B_C \cdot \underline{U} = (G_R + G_L) \cdot \underline{U} - j \frac{X_L}{Z_B^2} + j \cdot \omega \cdot C \cdot \underline{U} \quad (23)$$

Cu ajutorul ecuației (21) se pot construi următoarele diagrame fazoriale (vezi figura 4):

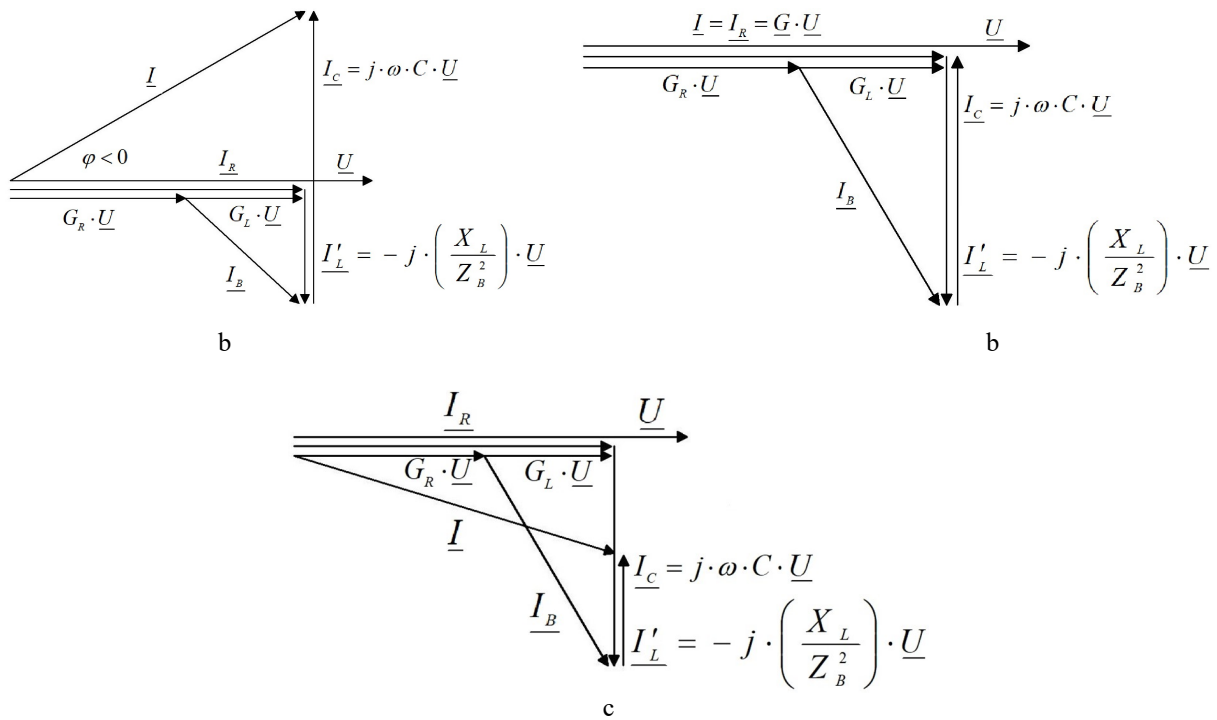


Fig. 4.

Factorul de putere este $\cos \varphi = P / U \cdot I$ și este maxim la rezonanță. Forma caracteristicilor I , I_C , I_B , I'_L , $\cos \varphi$ în funcție de reactanța inductivă X_L este prezentată în figura 5.

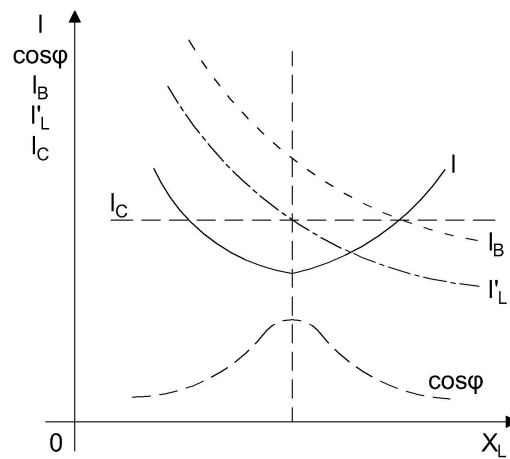


Fig. 5.

Factorul de calitate al circuitului se refinește în cazul circuitelor RLC derivație ca raport de amplificare a curenților:

$$q = \frac{I_C}{I} = \frac{G_C \cdot U}{G \cdot U} = \frac{G_C}{G} \quad (24)$$

3. PROCEDEU EXPERIMENTAL

3.1. Determinarea rezistenței proprii a înfășurării bobinei R_L

Dacă nu este cunoscută rezistența bobinei R_L se realizează montajul din figura 6, se citesc indicațiile aparatelor de măsură și se calculează:

$$R_L = \frac{P}{I^2} \quad \text{și} \quad G_L = \frac{1}{R_L} \quad (25)$$

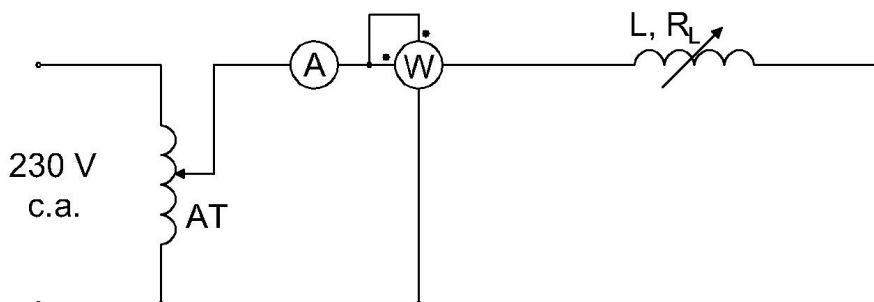


Fig. 6.

3.2. Măsurarea puterii active și a curenților la variația inductivității

Se realizează schema din figura 7. Se fizează din autotransformatorul AT o valoare nepericuloasă a tensiunii de alimentare. Se variază treptat inductivitatea L a bobinei, citindu-se aparatele de măsură și completându-se tabelul 1. Se iau date de o parte și de alta a punctului de rezonanță (curentul indicat de ampermetrul A să fie minim).

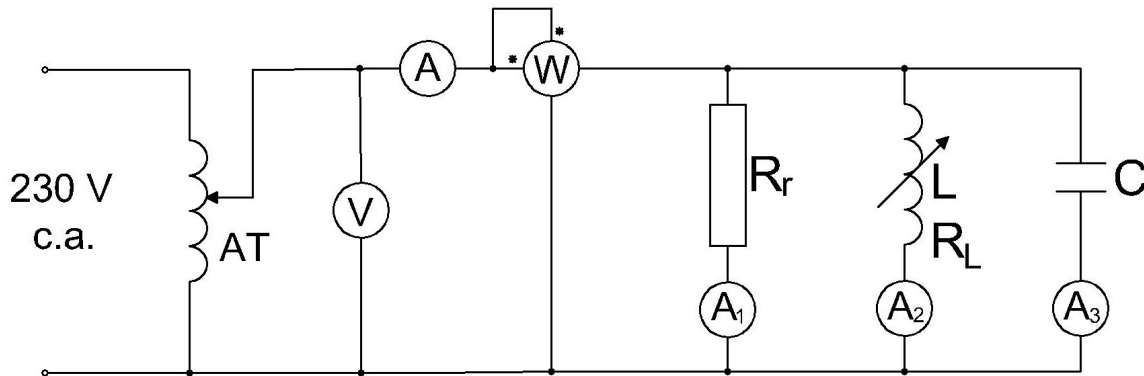


Fig. 7.

Tabelul 1.

| X_L [Ω] | L' [H] | I [A] | I_{R_r} [A] | I_B [A] | I_C [A] | P [W] |
|--------------------|--------------|---------|---------------|-----------|-----------|---------|
| | 20 % | | | | | |
| | 40 % | | | | | |
| | 60 % | | | | | |
| | 80 % | | | | | |
| | 100 % | | | | | |
| | 120 % | | | | | |
| | 140 % | | | | | |
| | 160 % | | | | | |
| | 180 % | | | | | |
| | 200 % | | | | | |

3.3. Calculul valorilor elementelor de circuit

Se calculează conductanța reostatului G_r și conductanța echivalentă a întregului circuit G .

$$G_R = \frac{1}{R_r} = \frac{I_{Rr}}{U}; \quad G = G_R + G_L. \quad (26)$$

Se calculează impedanța bobinei (Z_B), reactanța (X_L), susceptanța (B_L) și inductivitatea L' cu relațiile:

$$Z_B = \frac{U}{I_B}; \quad X_L = \sqrt{Z_B^2 - R_L^2}; \quad B_L = -\frac{X_L}{Z_B^2}; \quad L' = -\frac{1}{\omega \cdot B_L}; \quad (27)$$

apoi componenta reactivă a curentului prin bobină:

$$I'_L = \sqrt{I_B^2 - (G_L \cdot U)^2}. \quad (28)$$

Se calculează susceptanța (B_C), capacitatea (C) a condensatorului:

$$B_C = \omega \cdot C = \frac{I_C}{U}; \quad C = \frac{B_C}{\omega}. \quad (29)$$

Se calculează susceptanța echivalentă (B), admitanța echivalentă (Y) și factorul de putere ($\cos \varphi$) cu relațiile:

$$B = B_L + B_C; \quad Y = \sqrt{G^2 + B^2} = \frac{I}{U}; \quad \cos \varphi = \frac{P}{U \cdot I}. \quad (30)$$

Rezultatele se trec în tabelul 2.

Tabelul 2.

| X_L [Ω] | L' [H] | G_L [S] | G_R [S] | G [S] | Z_B [Ω] | I'_L [A] | B_L [Ω] | B_C [Ω] | B [Ω] | C [F] | Y [S] | $\cos \varphi$ |
|--------------------|--------------|-----------|-----------|---------|--------------------|------------|--------------------|--------------------|------------------|---------|---------|----------------|
| | 20 % | | | | | | | | | | | |
| | 40 % | | | | | | | | | | | |
| | 60 % | | | | | | | | | | | |
| | 80 % | | | | | | | | | | | |
| | 100 % | | | | | | | | | | | |
| | 120 % | | | | | | | | | | | |
| | 140 % | | | | | | | | | | | |
| | 160 % | | | | | | | | | | | |
| | 180 % | | | | | | | | | | | |
| | 200 % | | | | | | | | | | | |

3.4. Construirea diagramelor fazoriale și a graficelor de variație a curentului în funcție de inductivitatea bobinei.

Se vor construi diagramele fazoriale pentru trei situații:

$$\varphi < 0; \quad \varphi = 0; \quad \varphi > 0.$$

Se vor trasa caracteristicile:

$$I = f(X_L); \quad I_B = f(X_L); \quad I_C = f(X_L); \quad I'_L = f(X_L); \quad \cos \varphi = f(X_L).$$

ANALIZA CIRCUITULUI RLC SERIE LA FRECVENTA VARIABILA

1. Scopul lucrării este analiza funcționării unui circuit serie RLC alimentat de la un generator de frecvență variabilă, punerea în evidență a rezonanței și trasarea caracteristicilor de frecvență ale circuitului.

2. Considerații teoretice

Se consideră un circuit serie alcătuit dintr-un rezistor, o bobină și un condensator, toate de valori fixe. Circuitul se alimentează de la un generator de semnal cu frecvență variabilă (fig.1).

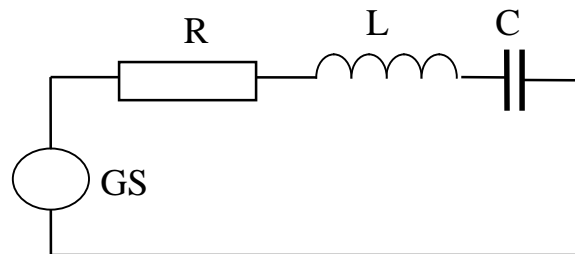


fig.1

Modulul impedanței totale a circuitului este:

$$Z = \sqrt{R^2 + \left(\omega \cdot L - \frac{1}{\omega \cdot C} \right)^2} \quad (1)$$

iar intensitatea curentului în circuit este:

$$I = \frac{U}{\sqrt{R^2 + \left(\omega \cdot L - \frac{1}{\omega \cdot C} \right)^2}} \quad (2)$$

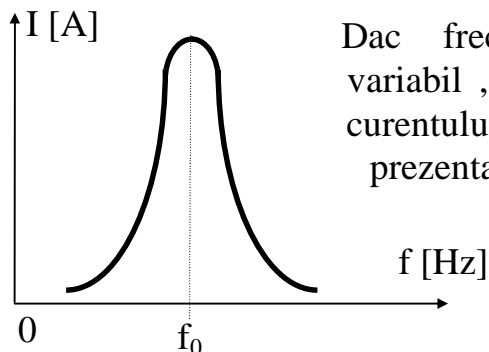


fig.2

Dacă frecvența tensiunii de alimentare este variabilă, atunci graficul dependenței intensității curentului în funcție de frecvență are forma prezentată în fig. 2.

Se constată că pentru o anumită frecvență f_0 numită frecvență de rezonanță, intensitatea curentului are valoare maximă.

Frecvența pentru care se obține rezonanța este:

$$f_0 = \frac{\omega_0}{2 \cdot \pi} \quad (3)$$

în care ω_0 este pulsația de rezonanță, care îndeplinește condiția:

$$\omega_0^2 \cdot L \cdot C = 1 \quad (4)$$

Pentru pulsația de rezonanță ω_0 impedanța totală a circuitului este minimă și egală cu rezistența R .

Intensitatea curentului în circuit în acest caz are valoarea maximă:

$$I_0 = \frac{U}{R} \quad (5)$$

Considerând că intervalul de frecvențe pentru care intensitatea curentului depășește $\frac{I_0}{\sqrt{2}}$ este $[f_1, f_2]$ circuitul poate fi considerat ca un filtru de frecvențe trece bandă. Deci, pulsațiile care delimitează intervalul de trecere se determină pornind de la condiția:

$$\frac{U}{R \cdot \sqrt{2}} = \frac{U}{Z} \quad (6)$$

Adică:

$$2 \cdot R^2 = R^2 + \left(\omega \cdot L - \frac{1}{\omega \cdot C} \right)^2 \quad (7)$$

Prin rezolvarea ecuației:

$$\omega^2 \cdot L \cdot C \pm \omega \cdot R \cdot C - 1 = 0 \quad (8)$$

se obțin soluțiile pozitive:

$$\omega_1 = \frac{-R \cdot C + \sqrt{R^2 \cdot C^2 + 4 \cdot L \cdot C}}{2 \cdot L \cdot C} = -\frac{R}{2 \cdot L} + \sqrt{\frac{R^2}{4 \cdot L^2} + \omega_0^2} \quad (9)$$

$$\omega_2 = \frac{R \cdot C + \sqrt{R^2 \cdot C^2 + 4 \cdot L \cdot C}}{2 \cdot L \cdot C} = \frac{R}{2 \cdot L} + \sqrt{\frac{R^2}{4 \cdot L^2} + \omega_0^2} \quad (10)$$

iar banda de trecere este:

$$\Delta\omega = \omega_2 - \omega_1 = \frac{R}{L} \quad (11)$$

Se constată că:

$$\frac{\Delta\omega}{\omega_0} = \frac{R}{L \cdot \omega_0} = \frac{1}{Q} \quad (12)$$

în care Q reprezintă factorul de calitate al circuitului la rezonanță.

Dacă $Q \gg 1$, se observă că:

$$\omega_1 \approx \omega_0 \cdot \left(1 - \frac{1}{2 \cdot Q}\right) \quad (13)$$

$$\omega_2 \approx \omega_0 \cdot \left(1 + \frac{1}{2 \cdot Q}\right) \quad (14)$$

Defazajul tensiunii la bornele circuitului în raport cu intensitatea curentului este:

$$\operatorname{tg} \varphi = \frac{\omega \cdot L - \frac{1}{\omega \cdot C}}{R_T} = \pm 1 \quad (15)$$

deci : $\varphi_1 = -45^\circ$ si $\varphi_2 = +45^\circ$.

Puterea consumat de circuit la rezonan este:

$$P_0 = R_T \cdot I_0^2 \quad (16)$$

Pentru frecven ele de t iere f_1 i f_2 puterea este egal cu jumătate din puterea maxim P_0 :

$$P = U \cdot I \cdot \cos \varphi = \frac{R \cdot I_0^2}{2} = \frac{P_0}{2} \quad (17)$$

3. Procedeu experimental

3.1. Se realizeaza circuitul din fig.3.

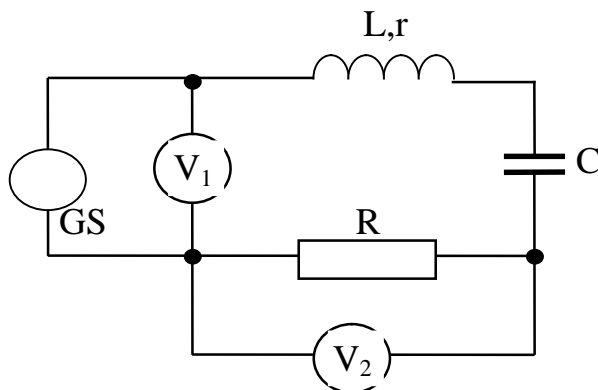


fig.3

În locul rezisten ei R se vor utiliza pe rând două rezisten e de valori diferite: R_1 , respectiv R_2 . Voltmetrul V_2 , conectat la bornele rezisten ei permite determinarea intensit ii curentului în circuit conform legii lui Ohm:

$$I = \frac{U_R}{R} \quad (18)$$

Voltmetrul V_1 m soar tensiunea de alimentare care se

men ine constant pe parcursul m sur torilor.

Pentru fiecare din cele două valori ale rezisten ei se determin cu rel.(18) intensitatea curentului în circuit pentru diferite valori ale frecven ei. Rezultatele m sur torilor se trec în tabelul 1.

Între valorile frecven ei pentru care se fac determin ri se va afla i frecven a de rezonan f_0 :

$$f_0 = \frac{1}{2 \cdot \pi} \cdot \sqrt{\frac{1}{L \cdot C}} \quad (19)$$

Tabelul 1

| f [Hz] | I [A] | |
|-----------|------------------|------------------|
| | R ₁ = | R ₂ = |
| 100 | | |
| 200 | | |
| | | |
| 1000 | | |

Intensitatea curentului determinat pentru frecvența de rezonanță a circuitului, permite calculul rezistenței totale a circuitului. Pentru fiecare din cele două valori ale rezistenței introduse în circuit, rezistențele totale vor fi:

$$R_{T1} = \frac{U}{I_1} \quad R_{T2} = \frac{U}{I_2} \quad (20)$$

Se calculează coeficienții de supratensiune:

$$Q_1 = \frac{\omega_0 \cdot L}{R_{T1}} \quad Q_2 = \frac{\omega_0 \cdot L}{R_{T2}} \quad (21)$$

3.2. Calculul defazajului

Pe baza rezultatelor anterioare poate fi determinat defazajul φ între tensiunea de alimentare și intensitatea curentului în circuit pentru diverse frecvențe. Considerând cazul când valoarea rezistenței introduse în circuit este R_1 , unghiul de defazaj se calculează cu relația:

$$\cos\varphi = \frac{R_{T1}}{Z} = \frac{R_{T1} \cdot I}{U} \quad (22)$$

Cu ajutorul relației (22) se completează tabelul 2.

Tabelul 2

| f [Hz] | $\varphi = \pm \arccos \frac{R_{T1} \cdot I}{U}$ [°] |
|-----------|---|
| 100 | |
| 200 | |
| | |
| 1000 | |

Semnul defazajului este dat de relația:

$$\operatorname{tg}\varphi = \frac{\omega \cdot L - \frac{1}{\omega \cdot C}}{R} \quad (23)$$

Evident, pentru frecvențe inferioare frecvenței de rezonanță, φ este negativ deoarece:

$$\frac{1}{\omega \cdot C} > \omega \cdot L \quad (24)$$

3.3. Calculul puterii medii

Puterea medie consumat de circuit este disipat în rezistențele din circuit prin efect Joule-Lenz:

$$P = R_T \cdot I^2 \quad (25)$$

Cu relația (25) se poate determina puterea activ consumat de circuit când tensiunea de alimentare a acestuia are diverse frecvențe.

Se va verifica pentru fiecare frecvență aceași valoare a puterii active se obține și cu relația:

$$P = U \cdot I \cdot \cos\varphi \quad (26)$$

Valorile puterilor calculate cu cele două relații se trec în tabelul 3.

Tabelul 3

| f [Hz] | I [mA] | φ [°] | $P=R_T I^2$ [W] | $P=UI\cos\varphi$ [W] |
|-----------|-----------|------------------|--------------------|--------------------------|
| | | | | |
| | | | | |
| | | | | |

Se reprezintă grafic variația intensității curentului în circuit, defazajul tensiune-curent și puterea activ consumat de circuit în funcție de frecvența tensiunii de alimentare. Graficele obținute vor avea forma prezentată în fig.4.

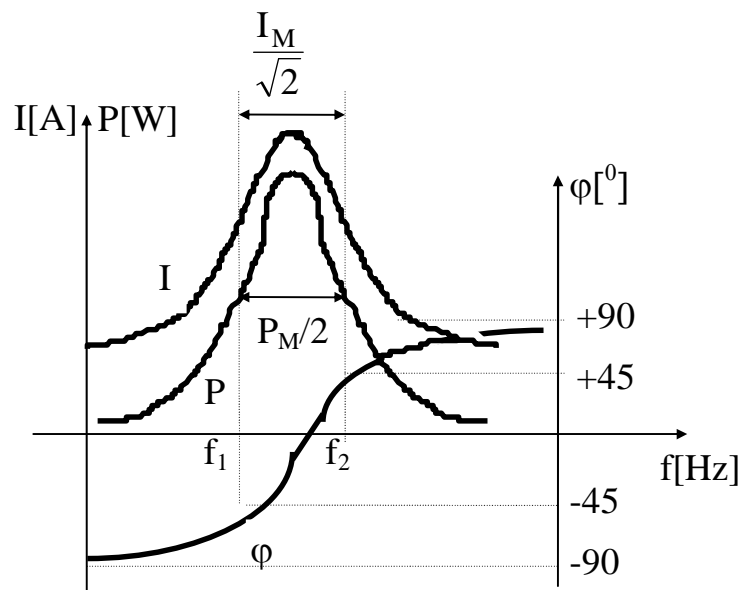


fig.4

Pe baza curbelor din această figură se poate determina lărgimea benzii de trecere $\Delta\omega$. Calculul se face pentru una din cele trei curbe astfel:

- pentru curba $I(f)$ se determină frecvențele f_1 și f_2 pentru care $I = \frac{I_M}{\sqrt{2}}$.
- pentru curba $P(f)$ se determină frecvențele f_1 și f_2 pentru care $P = \frac{P_M}{2}$;
- pentru curba $\varphi(f)$ se determină frecvențele f_1 și f_2 pentru care $\varphi = \pm 45^\circ$.

Valorile frecvențelor de tăiere f_1 și f_2 sînt practic simetrice față de frecvența de rezonanță f_0 .

3.4. Toate determinările anterioare pot fi obținute și prin utilizarea unui osciloscop cu două spoturi (fig.5).

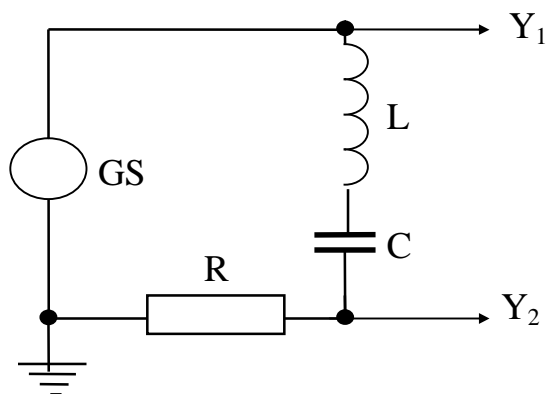


fig.5

Pe unul din canalele osciloscopului se va prelua tensiunea de alimentare a circuitului, iar pe cel de al doilea canal, tensiunea la bornele rezistenței R , care este proporțională cu intensitatea curentului în circuit.

Măsurarea frecvenței se realizează cu ajutorul bazei de timp etalonate a osciloscopului.

Se compară valorile defazajului între tensiunea de alimentare și intensitatea curentului determinate cu ajutorul osciloscopului cu cele obținute anterior.

DETERMINAREA PARAMETRILOR UNUI CIRCUIT DIPOLAR IN REGIM PERMANENT ARMONIC

1. Scopul lucrării este determinarea prin metode industriale a parametrilor echivalenți ce caracterizează în regim permanent armonic un circuit dipolar liniar și pasiv: impedanța, rezistența, reactanța și defazajul, respectiv admitanța, conductanța și susceptanța.

2. Considerații teoretice

Se consideră un circuit de tip dipol liniar pasiv funcționând în regim permanent armonic, având la borne tensiunea :

$$u = \sqrt{2} \cdot U \cdot \sin(\omega \cdot t + \gamma_u) \quad (1)$$

și curentul :

$$i = \sqrt{2} \cdot I \cdot \sin(\omega \cdot t + \gamma_i) \quad (2)$$

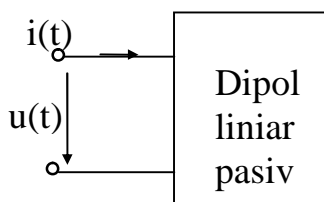


fig.1

Sensurile curentului și a tensiunii sunt asociate după regula corespunzătoare receptoarelor.

În regim permanent armonic circuitul poate fi caracterizat printr-o pereche de mrimi scalare care poate fi:

a. modulul Z și argumentul φ (defazajul dintre tensiune și curent) al

impedanței :

$$Z = \frac{U}{I} ; \varphi = \gamma_u - \gamma_i ; \varphi \in \left[-\frac{\pi}{2}, +\frac{\pi}{2} \right] \quad (3)$$

b. admitanța scalară Y și defazajul φ :

$$Y = \frac{I}{U} ; \varphi = \gamma_u - \gamma_i ; \varphi \in \left[-\frac{\pi}{2}, +\frac{\pi}{2} \right] \quad (4)$$

c. rezistența echivalentă R și reactanța echivalentă X :

$$R = Z \cdot \cos \varphi ; \quad X = Z \cdot \sin \varphi \quad (5)$$

d. conductanța echivalentă G și susceptanța echivalentă B :

$$G = Y \cdot \cos \varphi ; \quad B = -Y \cdot \sin \varphi \quad (6)$$

Aceste mrimi scalare derivă din impedanța complexă \underline{Z} sau admitanța complexă \underline{Y} , de care sunt legate prin relațiile:

$$\underline{Z} = \frac{\underline{U}}{\underline{I}} = \frac{U \cdot e^{j\gamma_u}}{I \cdot e^{j\gamma_i}} = \frac{U}{I} \cdot e^{j(\gamma_u - \gamma_i)} = Z \cdot e^{j\varphi} = R + j \cdot X \quad (7)$$

$$\underline{Y} = \frac{\underline{I}}{\underline{U}} = \frac{I \cdot e^{j\gamma_i}}{U \cdot e^{j\gamma_u}} = \frac{I}{U} \cdot e^{-j(\gamma_u - \gamma_i)} = Y \cdot e^{-j\varphi} = G + j \cdot B \quad (8)$$

unde \underline{U} i \underline{I} sînt expresiile tensiunii u i curentului i la bornele dipolului în complex simplificat :

$$\underline{U} = U \cdot e^{j\gamma_u} ; \quad \underline{I} = I \cdot e^{j\gamma_i} \quad (9)$$

Cu ajutorul relațiilor (7) i (8) se pot exprima modulul i argumentul impedanței complexe \underline{Z} , respectiv ale admitanței complexe \underline{Y} :

$$Z = \sqrt{R^2 + X^2} ; \quad \varphi = \arctg \frac{X}{R} ; \quad \varphi \in \left[-\frac{\pi}{2}, +\frac{\pi}{2} \right] \quad (10)$$

$$Y = \sqrt{G^2 + B^2} ; \quad \varphi = -\arctg \frac{B}{G} ; \quad (11)$$

$$\underline{Z} \cdot \underline{Y} = 1 ; \quad Z \cdot Y = 1 \quad (12)$$

Luînd în considerare parametrii menționați, circuitul dipolar poate fi reprezentat printr-un circuit echivalent serie sau paralel, în care se pot pune în evidență componentele impedanței complexe \underline{Z} (fig.2), respectiv admitanței complexe \underline{Y} (fig.3).

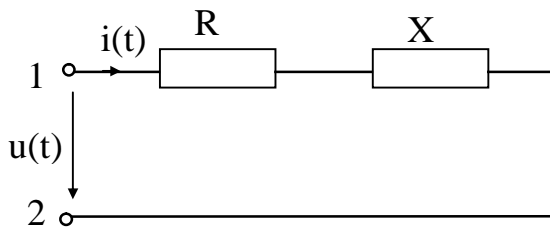


fig.2

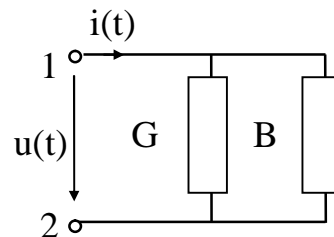


fig.3

Elementele circuitului echivalent paralel se pot exprima funcție de cele ale circuitului echivalent serie utilizînd relațiile (7), (8) i (12). Relațiile de calcul sînt:

$$G = \frac{R}{R^2 + X^2} ; \quad B = -\frac{X}{R^2 + X^2} \quad (13)$$

Puterea aparent complex la bornele circuitului dipolar pasiv este :

$$\underline{S} = \underline{U} \cdot \underline{I}^* = U \cdot e^{j\gamma_u} \cdot I \cdot e^{-j\gamma_i} = U \cdot I \cdot e^{j(\gamma_u - \gamma_i)} \\ \underline{S} = U \cdot I \cdot e^{j\varphi} = S \cdot e^{j\varphi} = P + j \cdot Q \quad (14)$$

unde :

$$P = U \cdot I \cdot \cos \varphi = R \cdot I^2 = G \cdot U^2 \quad (15)$$

$$Q = U \cdot I \cdot \sin \varphi = X \cdot I^2 = -B \cdot U^2 \quad (16)$$

P și Q fiind puterea activă și respectiv puterea reactivă la bornele circuitului dipolar.

Determinarea parametrilor care caracterizează circuitul se poate face fie prin metoda industrială fie prin metoda celor trei voltmetre.

2.1 Metoda industrială

Această metodă presupune utilizarea a trei aparate de măsură: un ampermetru, un voltmetru și un wattmetru pentru determinarea valorilor efective ale curentului, tensiunii și puterii active primite de circuit de la sursă de alimentare.

Relațiile de calcul ale parametrilor circuitului sunt:

$$\begin{aligned} Z &= \frac{U}{I}; & Y &= \frac{I}{U}; & \varphi &= \arccos \frac{P}{U \cdot I} \\ R &= \frac{P}{I^2}; & X &= \pm \sqrt{Z^2 - R^2} \\ G &= \frac{P}{U^2}; & -B &= \pm \sqrt{Y^2 - G^2} \end{aligned} \quad (17)$$

Defazajul φ , respectiv reactanța X , sunt pozitive pentru circuitele inductive (pentru care susceptanța este negativă), și negative pentru circuitele capacitive (pentru care susceptanța este pozitivă).

Stabilirea semnelor defazajului, reactanței și susceptanței în cazul în care nu este cunoscut caracterul circuitului va fi prezentat ulterior.

2.2 Metoda celor trei tensiuni

Principiul metodei este ilustrat în fig.4.

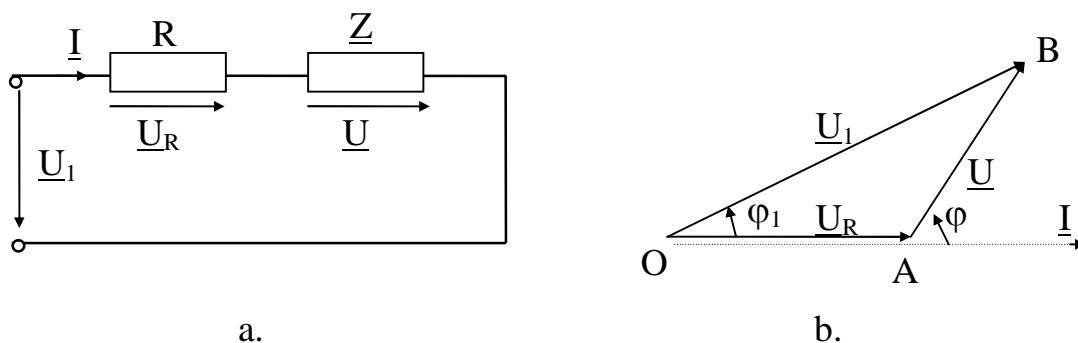


fig.4

Dacă dipolul studiat prezintă impedanță complexă \underline{Z} , se conectează în serie cu acesta un rezistor având rezistență R (fig.4a) și se măsoară valorile

efective ale tensiunilor la bornele circuitului (U_I), la bornele rezistorului (U_R), și la bornele dipolului studiat (U), precum și valoarea efectivă a curentului în circuit (I).

Considerând fazorul curentului în circuit ca origine de fază, se construiește diagrama fazorială (fig.4b). Din această construcție grafică, realizată la scară, se poate determina unghiul de defazaj între curentul și tensiunea la bornele dipolului φ :

$$\cos\varphi = \frac{U_I^2 + U_R^2 - U^2}{2 \cdot U_I \cdot U_R}; \quad \varphi = \pm \arccos \frac{U_I^2 + U_R^2 - U^2}{2 \cdot U_I \cdot U_R} \quad (18)$$

Parametrii circuitului dipolar se vor determina cu relațiile: (5), (6) și (17).

2.3 Determinarea caracterului (inductiv, capacitiv), al unui dipol pasiv

Pentru determinarea caracterului dipolului studiat se procedează în felul următor:

a. printr-una din metodele prezentate anterior se determină modulul $|X|$ al reactanței echivalente a dipolului care se studiază, după care, în serie cu circuitul dipolar studiat se conectează un condensator cu reactanță cunoscută

$$X_C = -\frac{1}{\omega \cdot C} \quad (\text{fig.5a}).$$

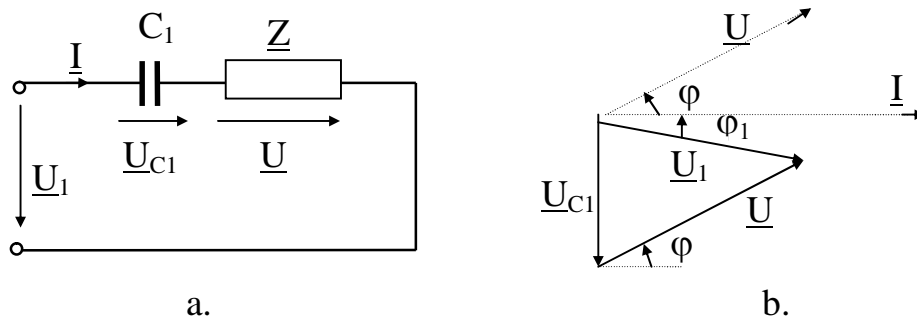


fig.5

Se determină modulul reactanței echivalente pentru noul circuit dipolar realizat: $|X'| = |X + X_C|$.

Dacă se exclude cazul $X=0$, este evident că:

dacă $|X'| > |X|$ și $|X'| > |X_C|$ dipolul are caracter capacitiv.

dacă $|X'| < |X|$ și $|X'| < |X_C|$ dipolul are caracter inductiv.

b. Se determină puterea reactivă Q a circuitului dipolar studiat. Semnul acesteia coincide cu cel al defazajului și al reactanței echivalente a circuitului și este opus semnului susceptanței echivalente.

c. Se aplică metoda celor trei voltmetre circuitului format prin înserierea dipolului studiat cu un condensator presupus ideal (fig.5a). Din diagrama fazorială a tensiunilor pentru acest circuit (fig.5b), se determină defazajul:

$$\sin\varphi = \frac{U^2 + U_C^2 - U_1^2}{2 \cdot U \cdot U_C} \quad (19)$$

3. Procedeu experimental

Se utilizează metoda industrială pentru determinarea parametrilor circuitului echivalent serie și paralel al unor circuite dipolare pasive. În acest scop se vor considera pe rând ca dipoli pasivi următoarele circuite:

- a - circuit serie, rezistor-bobina (fig.6a);
- b - circuit serie, rezistor-condensator (fig.6b);
- c - gruparea serie a dipolilor realizați la punctele a și b;
- d - gruparea paralel a dipolilor realizați la punctele a și b.

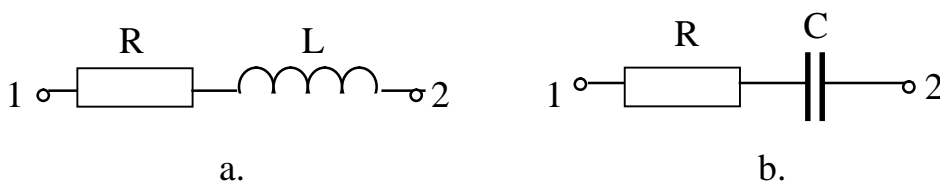


fig.6

Se realizează montajul din figura 7, în care dipolul pasiv DP va fi pe rând constituit din circuitele prezentate anterior.

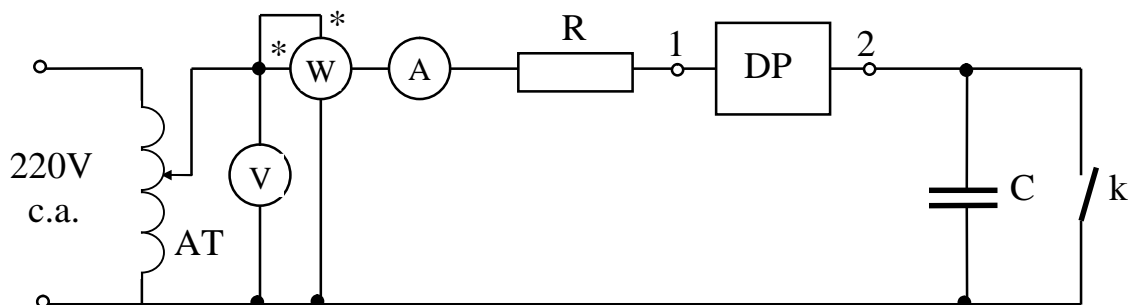


fig.7

Pentru poziția închisă a întrerupătorului k (C scurtcircuitat), se măsoară tensiunea, curentul și puterea activ pentru fiecare din cei patru dipoli pasivi considerați. Rezultatele măsurătorilor se trec în tabelul 1.

Se deschide întrerupătorul k și se determină I' și P' pentru noul circuit. Cu aceste valori se determină caracterul inductiv sau capacitiv al dipolului studiat.

Cu relațiile (17) se determină parametrii circuitului echivalent serie respectiv paralel. Rezultatele obținute prin calcul se trec în tabelul 2.

Tabelul 1 (Valori măsurate)

| Dipolul studiat | U [V] | I [A] | P [W] | I' [A] | P' [W] |
|-----------------|----------|----------|----------|-------------|-------------|
| a | | | | | |
| b | | | | | |
| c | | | | | |
| d | | | | | |

Tabelul 2 (Valori calculate)

| Dipolul studiat | Z [Ω] | Y [S] | ϕ [rad] | R [Ω] | $ X $ [Ω] | $ X' $ [Ω] | X [Ω] | G [S] | B [S] |
|-----------------|-------------------|----------|-----------------|-------------------|-----------------------|------------------------|-------------------|----------|----------|
| a | | | | | | | | | |
| b | | | | | | | | | |
| c | | | | | | | | | |
| d | | | | | | | | | |

2. Se realizează montajul din fig.8, pentru determinarea parametrilor circuitului echivalent serie și paralel prin metoda celor trei voltmetre.

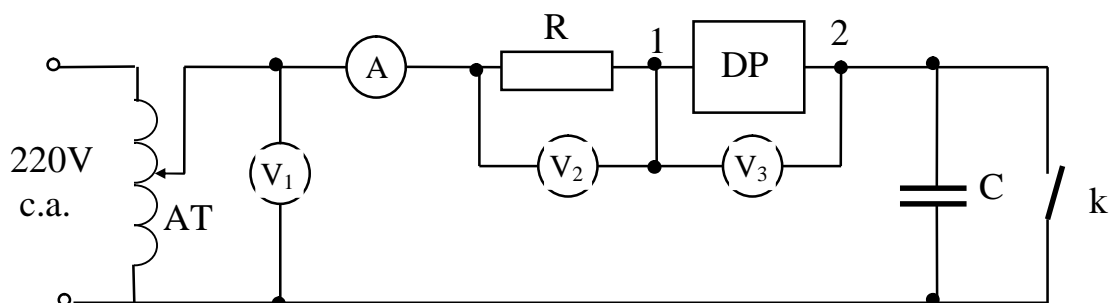


fig.8

[illegible]

STUDIUL DIPOLULUI PASIV IN CURENT CONTINUU

1. SCOPUL LUCRĂRII

Scopul lucrării este evidențierea regimurilor limită de funcționare și a valorilor mărimilor caracteristice în aceste regimuri, precum și verificarea teoremei transferului maxim de putere.

2. CONSIDERAȚII TEORETICE

Un dipol electric este un circuit care are două borne de acces cu exteriorul și care nu are cuplaje magnetice între laturile interioare și exterioare. Dacă suma algebrică a curenților celor două borne de acces este zero, oricare ar fi potențialul bornelor, atunci acesta formează o poarta. Dacă dipolul conține numai elemente pasive de circuit, el se numește dipol pasiv.

O linie de curent continuu, de distribuție a energiei electrice, de tensiune relativ redusă, poate fi asimilată unui dipol pasiv dacă se neglijează curenții de dispersie prin izolația liniei. Parametrul care caracterizează conductoarele liniei în curent continuu este rezistența electrică, care este distribuită pe întreaga lungime a acestora. Dacă lungimea liniei este l iar secțiunea s , linia poate fi înlocuită cu o rezistență concentrată de valoare $R = 2 \cdot \frac{\rho \cdot l}{s}$, iar dipolul (fig. 1a) ar deveni echivalent cu cel din figura 1b:

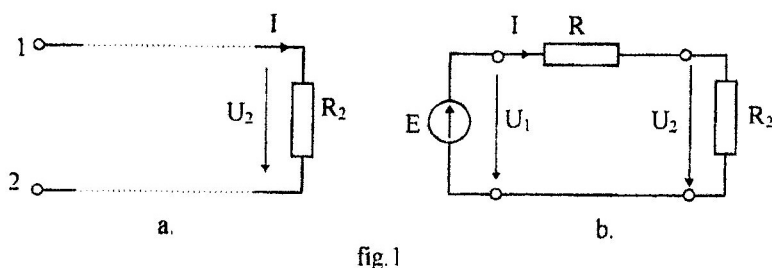


fig. 1

Ecuția dipolului obținut este:

$$U_1 = U_2 + R \cdot I$$

Presupunând că rezistența interioară R_i a generatorului de tensiune este neglijabilă, tensiunea U_1 de alimentare a liniei rezultă constantă.

Mărimile electrice caracteristice funcționării dipolului și respectiv liniei sunt:

- tensiunea la receptor (la sfârșitul liniei):

$$U_2 = U_1 - R \cdot I$$

- căderea de tensiune pe linie:

$$\Delta U = R \cdot I$$

- puterea la bornele generatorului:

$$P_1 = U_1 \cdot I$$

- puterea la bornele receptorului:

$$P_2 = U_2 \cdot I = (U_1 - R \cdot I) \cdot I = U_1 \cdot I - R \cdot I^2$$

- randamentul transmisiei:

$$\eta = \frac{P_2}{P_1} = \frac{U_1 \cdot I - R \cdot I^2}{U_1 \cdot I} = 1 - \frac{R \cdot I}{U_1}$$

Pentru linia de transport modelată prin dipolul considerat se studiază cele două regimuri limită de funcționare (gol și scurtcircuit) precum și regimul care corespunde transferului maxim de putere între generator și receptor.

2.1. Regimul de mers în gol corespunde situației când linia este deschisă la capăt ($R_2 = \infty$), iar mărimile caracteristice iau următoarele valori particulare:

$$I = 0, \Delta U = 0, U_1 = U_2, P_1 = 0, P_2 = 0.$$

2.2. Regimul de scurtcircuit ($R_2 = 0$) când mărimile caracteristice devin:

- curentul în circuit: $I = I_{sc} = \frac{U_1}{R}$
- căderea de tensiune pe linie: $\Delta U = R \cdot I_{sc} = U_1$
- tensiunea la consumator (la sfârșitul liniei): $U_2 = 0$
- puterea debitată de sursă: $P_1 = U_1 \cdot I_{sc} = \frac{U_1^2}{R}$
- puterea transmisă la receptor: $P_2 = 0$
- randamentul transmisiei: $\eta = 0$

2.3. Regimul de transfer maxim de putere de la generator către receptor reprezintă un alt caz important în funcționarea liniilor de transport. Puterea transmisă la receptor este:

$$P_2 = U_2 \cdot I = (U_1 - R \cdot I) \cdot I = U_1 \cdot I - R \cdot I^2$$

Și are valoarea maximă rezultând din anularea derivatei de ordinul I a puterii P_2 în raport cu intensitatea I :

$$\frac{dP_2}{dI} = U_1 - 2 \cdot R \cdot I = 0$$

Intensitatea curentului care corespunde regimului de transfer de putere maximă are valoarea:

$$I_{(P_{\max})} = \frac{U_1}{2 \cdot R} = \frac{I_{sc}}{2}$$

Înlocuind, rezultă valoarea puterii maxime:

$$P_{\max} = \frac{U_1 \cdot I_{sc}}{2} = \frac{U_1^2}{4 \cdot R}$$

Randamentul transmisiei, care în general se calculează cu relația:

$$\eta = \frac{P_2}{P_1} = \frac{R_2 \cdot I^2}{(R + R_2) \cdot I^2} = \frac{R_2}{R + R_2},$$

în cazul regimului de transfer maxim de putere este:

$$\eta = \frac{P_{2\max}}{P_{1\max}} = \frac{U_2 \cdot I_{(P_{\max})}}{U_1 \cdot I} = \frac{U_1 - R \cdot I_{(P_{\max})}}{U_1} = 1 - \frac{R \cdot I_{(P_{\max})}}{U_1} = 1 - \frac{R}{U_1} \cdot \frac{U_1}{2 \cdot R} = 0,5.$$

Egalând expresia generală de calcul a randamentului cu valoarea ei particulară în cazul regimului de transfer maxim de putere, rezultă că acest regim corespunde unei rezistențe de sarcină egală cu cea a liniei de transport ($R = R_2$). În această situație, se spune că linia funcționează în regim adaptat.

Puterea electrică transferată de la un generator ideal de tensiune printr-un dipol liniar pasiv în curent continuu la un receptor de rezistență variabilă este maximă atunci când rezistența receptorului este egală cu rezistența dipolului. Randamentul transmisiei puterii maxime este de 50%, indiferent de tensiunea electromotoare a generatorului și rezistența dipolului.

Deoarece în practică randamentul transmisiei energiei se impune a fi ridicat, rezultă necesitatea ca rezistența receptorului să fie mult mai mare decât rezistența dipolului ($R_2 \gg R$). Transmisia nu se face nici la randament maxim nici la putere maximă, ci se realizează un compromis eficient din punct de vedere economic între cele regimuri.

Graficul de variație a puterii electrice în funcție de intensitatea curentului în circuit este prezentat în figura 2.

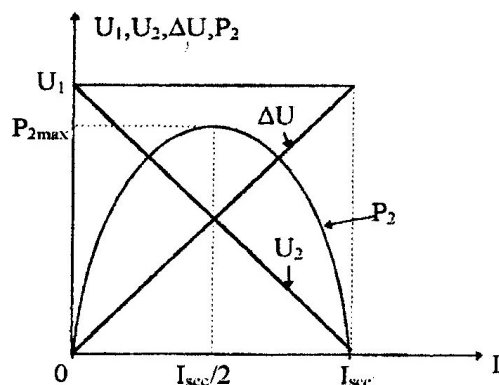


Fig. 2

Se constată că puterea absorbită de rezistența de sarcină R_2 este zero în cele două regimuri limită (gol și scurtcircuit), atingând un maxim care corespunde unui curent egal cu jumătate din valoarea curentului de scurtcircuit.

Tensiunea de alimentare a liniei rămâne nemodificată pe întreaga durată a experimentului, ea nefiind influențată de parametrii liniei sau ai sarcinii (sursa se consideră de putere infinită).

Căderea de tensiune pe linie, egală cu diferența între tensiunile la cele două capete ale liniei, are o variație liniară crescătoare, fiind zero la gol și egală cu tensiunea de alimentare a liniei în regim de scurtcircuit.

Tensiunea la receptor are o variație de asemenea liniară, fiind zero la scurtcircuit și maximă (egală cu tensiunea de alimentare) în regim de mers în gol.

3. PROCEDEU EXPERIMENTAL

3.1. Realizarea montajului și dimensionarea rezistenței R a liniei de transport

Se realizează montajul din figura 3:

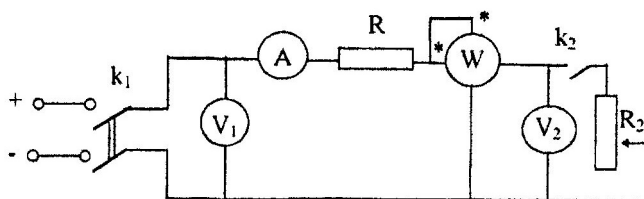


Fig. 3

Pentru dimensionarea valorii rezistenței R a conductoarelor liniei se procedează astfel:

- se scurtcircuitază rezistența de sarcină R_2 ;
- se variază rezistența R prin modificarea poziției cursorului, până ce acul ampermetrului este în cea de-a doua jumătate a scalei. Valoarea respectivă a curentului reprezintă intensitatea de scurtcircuit I_{sc} .
- în continuare, nu se va mai modifica poziția cursorului rezistenței R , valoarea acesteia rămânând fixă.

3.2. Ridicarea experimentală a datelor pentru regimurile de funcționare în sarcină

Se închid întrerupătoarele K_1 și K_2 și se variază rezistența R_2 de la valoarea maximă la zero, ridicându-se treptat datele necesare tabelelor de valori.

3.3. Realizarea regimului de mers în gol ($R_2 = \infty$)

Se deschide întrerupătorul K_2 și se citesc indicațiile aparatelor. Se verifică valorile determinate experimental cu cele teoretice.

3.4. Interpretarea grafică a datelor

Se reprezintă grafic mărimile caracteristice în funcție de curentul din circuit:

$$U_1(I), U_2(I), P_1(I), P_2(I), \Delta U(I), \eta(I).$$

Se compară graficele trasate pe baza datelor experimentale cu cele prezentate teoretic în figura 2.

TABELE DE VALORI:

1. Valori calculate

| Nr. Crt. | Regim | % din R | R_2 [Ω] | I [A] | U_1 [V] | U_2 [V] | $P_1 = U_1 I$ [W] | $\Delta U = U_1 - U_2$ [V] | P_2 [W] | η |
|----------|----------|----------|--------------------|-------|-----------|-----------|-------------------|----------------------------|-----------|--------|
| 1 | Sc.circ. | 0 | | | | | | | | |
| 2 | Sarcina | 20 | | | | | | | | |
| 3 | | 40 | | | | | | | | |
| 4 | | 60 | | | | | | | | |
| 5 | | 80 | | | | | | | | |
| 6 | | 100 | | | | | | | | |
| 7 | | 120 | | | | | | | | |
| 8 | | 140 | | | | | | | | |
| 9 | | 160 | | | | | | | | |
| 10 | | 180 | | | | | | | | |
| 11 | | 200 | | | | | | | | |
| 12 | Gol | ∞ | | | | | | | | |

2. Valori simulate

| Nr. Crt. | Regim | % din R | R_2 [Ω] | I [A] | U_1 [V] | U_2 [V] | $P_1 = U_1 I$ [W] | $\Delta U = U_1 - U_2$ [V] | P_2 [W] | η |
|----------|----------|----------|--------------------|-------|-----------|-----------|-------------------|----------------------------|-----------|--------|
| 1 | Sc.circ. | 0 | | | | | | | | |
| 2 | Sarcina | 20 | | | | | | | | |
| 3 | | 40 | | | | | | | | |
| 4 | | 60 | | | | | | | | |
| 5 | | 80 | | | | | | | | |
| 6 | | 100 | | | | | | | | |
| 7 | | 120 | | | | | | | | |
| 8 | | 140 | | | | | | | | |
| 9 | | 160 | | | | | | | | |
| 10 | | 180 | | | | | | | | |
| 11 | | 200 | | | | | | | | |
| 12 | Gol | ∞ | | | | | | | | |

3. Valori măsurate

| Nr. Crt. | Regim | % din R | R_2 [Ω] | I [A] | U_1 [V] | U_2 [V] | $P_1 = U_1 I$ [W] | $\Delta U = U_1 - U_2$ [V] | P_2 [W] | η |
|----------|----------|----------|-----------------------|----------|--------------|--------------|----------------------|-------------------------------|--------------|--------|
| 1 | Sc.circ. | 0 | | | | | | | | |
| 2 | Sarcina | 20 | | | | | | | | |
| 3 | | 40 | | | | | | | | |
| 4 | | 60 | | | | | | | | |
| 5 | | 80 | | | | | | | | |
| 6 | | 100 | | | | | | | | |
| 7 | | 120 | | | | | | | | |
| 8 | | 140 | | | | | | | | |
| 9 | | 160 | | | | | | | | |
| 10 | | 180 | | | | | | | | |
| 11 | | 200 | | | | | | | | |
| 12 | Gol | ∞ | | | | | | | | |

STUDIUL UNEI RETELE DE CURENT CONTINUU

1.Scopul lucrării este verificarea experimentală a principalelor teoreme referitoare la regimul staționar al circuitelor electrice liniare.

2.Consideratii teoretice

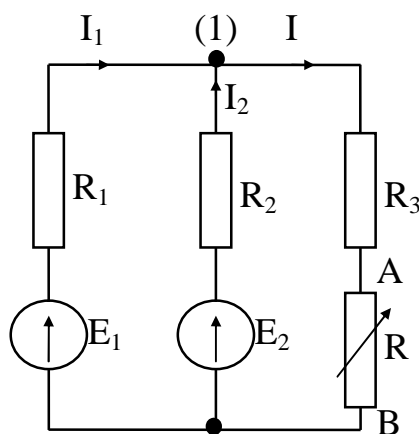


fig.1

Se considera rețeaua de curent continuu din fig.1, având trei laturi, două noduri și două ochiuri independente, alcătuită din elemente liniare. Cele două surse de tensiune sunt practic ideale, adică tensiunile lor electromotoare E_1 și E_2 nu depind de intensitățile curenților I_1 și I_2 ai laturilor respective.

Rezistoarele R_1 , R_2 și R_3 au valori fixe ale rezistenței, iar rezistorul R este un reostat cu cursor, a cărui

rezistență poate fi modificată.

2.Teorema I a lui Kirchhoff afirmă că suma algebrică a intensităților curenților laturilor incidente într-un nod al unei rețele este nulă. Pentru nodul (1) din fig.1, prin aplicarea teoremei I a lui Kirchhoff se stabilește relația:

$$I_1 + I_2 - I = 0 \quad (1)$$

2.2 Teorema superpoziției afirmă că într-o rețea liniară și activă intensitatea curentului unei laturi este egală cu suma algebrică a intensităților curenților care s-ar stabili în acea latură dacă fiecare dintre surse, considerate ideale, s-ar afla singură în rețea (celelalte surse se pasivizează). Pasivizarea unei laturi se realizează prin anularea tensiunii sale electromotoare (înlocuirea sursei cu rezistența ei interioară).

2.3 Teorema reciprocității afirmă că într-o rețea liniară, inițial pasivă, o sursă ideală de tensiune introdusă în latură 1, determină în latură 2 un curent de intensitate I_{21} , egală cu intensitatea I_{12} a curentului care s-ar stabili în latură 1 dacă aceeași sursă este introdusă în latură 2.

Expresia matematica a teoremei este:

$$I_{12} = I_{21} \quad (2)$$

2.4 Teoremele surselor echivalente stabilesc echivalenta în raport cu doua borne de acces care formeaza o poarta, dintre o retea activa si o sursa reala de tensiune sau de curent care s-ar conecta între aceleasi borne.

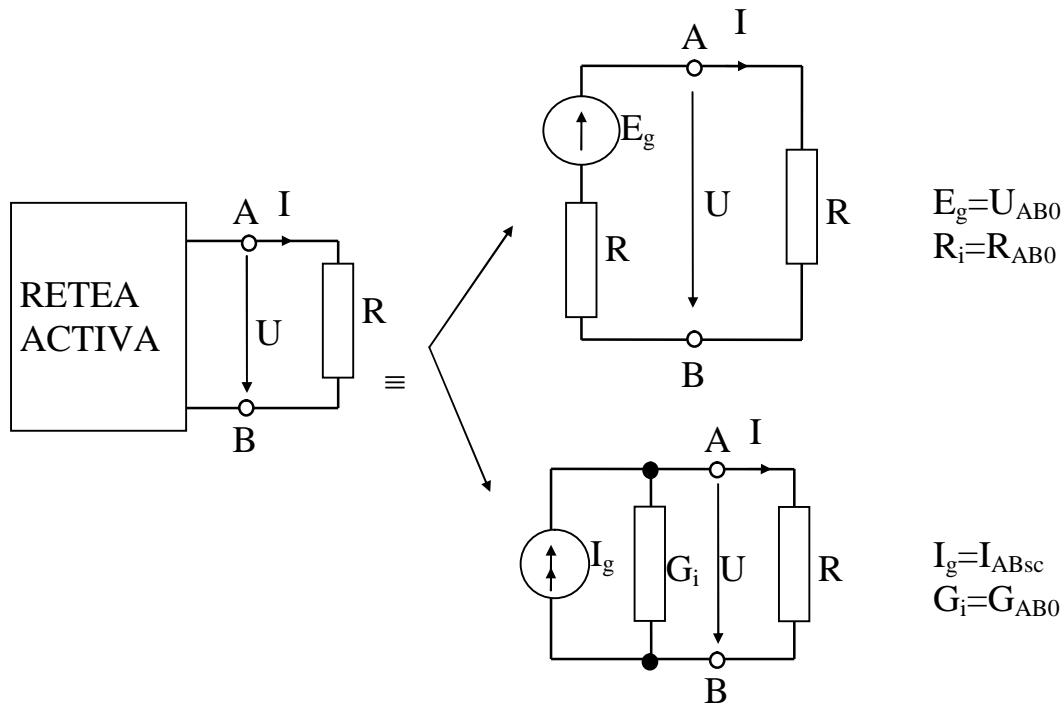


fig.2

Sursa echivalenta de tensiune (teorema Thevenin) are tensiunea electromotoare E_g egala cu tensiunea U_{AB0} care se stabileste între bornele A si B cînd curentul portii este nul ($I=0$), deci latura exteriora AB este în gol. Rezistenta interna R_i a generatorului de tensiune este egala cu rezistenta echivalenta R_{AB0} între bornele A si B ale retelei pasivizate.

Sursa echivalenta de curent (teorema Norton) are curentul sursei I_g egal cu curentul de scurtcircuit I_{ABsc} al portii AB obtinut la scurtcircuitarea bornelor ($U=0$) si rezistenta interna R_i egala cu rezistenta echivalenta R_{AB0} a retelei pasivizate.

Evident

$$R_{AB0} = \frac{1}{G_{AB0}} = \frac{U_{AB0}}{I_{ABsc}} \quad (3)$$

2.5. Teorema transferului maxim de putere stabileste ca puterea cedata pe la borne de un dipol activ este maxima atunci cînd rezistenta de

sarcina conectata la bornele dipolului este egala cu rezistenta interna a generatorului echivalent de tensiune.

Puterea cedata de dipolul activ este:

$$P_{\max} = \frac{E_g}{4 \cdot R_i} \quad (4)$$

Pentru orice alta valoare a rezistentei de sarcina puterea cedata este mai mica decît P_{\max} .

2.6 Teorema conservarii puterilor afirma ca puterea P_g generata de sursele retelei este egala cu puterea P_r disipata în rezistoarele sale.

3.Procedeu experimental

Se vor verifica experimental urmatoarele teoreme:

3.1 Teorema I a lui Kirchhoff

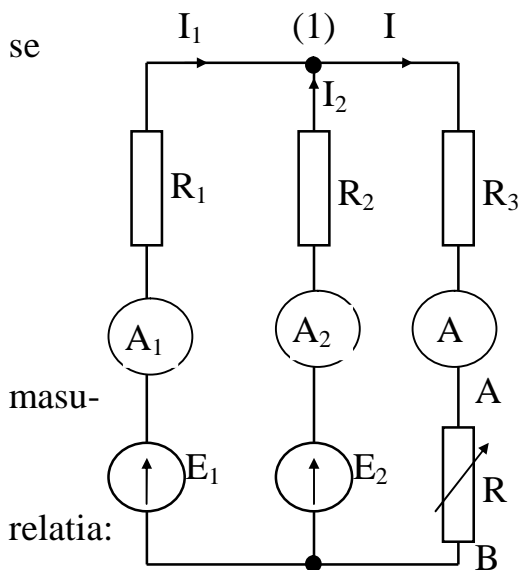


fig.3

leaza cu relatia:

Se realizeaza circuitul din fig. 3. Masurînd intensitatile curenților din laturile circuitului din fig.3 verifica experimental ca relatia (1) este satisfacuta, cu o eroare absoluta marginita superior de suma erorilor tolerate ale ampermetrelor utilizate. Daca cele trei ampermetre folosite sînt identice din punct de vedere al clasei de precizie si domeniului de masura, erorile tolerate de acestea vor fi egale, iar prima teorema a lui Kirchhoff se verifica cu

$$|I_1 + I_2 - I| \leq 3 \cdot \Delta I \quad (5)$$

Eroarea tolerata a ampermetrelor avînd clasa de precizie C si domeniul de masura I_n se calcu-

$$\Delta I = \frac{C}{100} \cdot I_n \quad (6)$$

Rezultatele masuratorilor se trec în tabelul 1.

3.2 Teorema superpozitiei

Reteaua din fig.3 contine doua surse de tensiune practic ideale, deci pentru verificarea teoremei superpozitiei se vor lua în considerare cele doua configuratii din fig.4: prima când în circuit actioneaza numai sursa E_1 , iar $E_2=0$ (fig.4a) si a 2-a când exista numai sursa E_2 iar $E_1=0$ (fig.4b).

Cu notatiile din fig.3 si fig.4, teorema superpozitiei consta în verificarea relatiilor:

$$\begin{aligned} I_1' + I_1'' &= I_1 \\ I_2' + I_2'' &= I_2 \\ I' + I'' &= I \end{aligned} \quad (7)$$

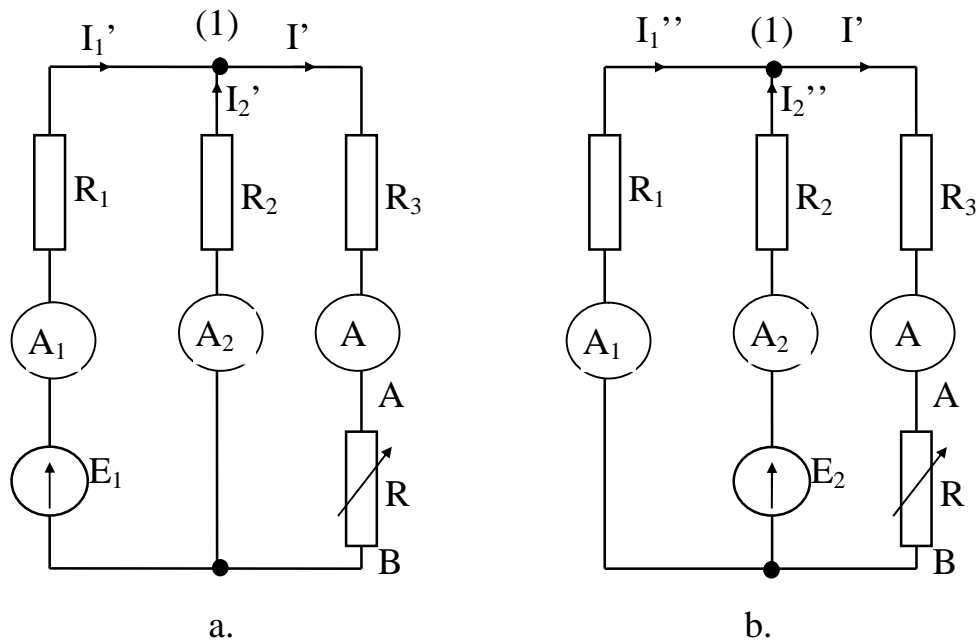


fig.4

Experimental, relatiile (7) se considera satisfacute daca eroarea absoluta este marginita superior de suma erorilor tolerate ale ampermetrelor utilizate, adica:

$$\begin{aligned} |I_1' + I_1'' - I_1| &\leq 3 \cdot \Delta I \\ |I_2' + I_2'' - I_2| &\leq 3 \cdot \Delta I \\ |I' + I'' - I| &\leq 3 \cdot \Delta I \end{aligned} \quad (8)$$

Cu datele ridicate se completeaza tabelul 1.

Tabelul 1

| E_1 | E_2 | I_1 [A] | I_2 [A] | I [A] | $ I_1 + I_2 - I $ [A] |
|------------------------|------------|--------------|--------------|------------|--------------------------|
| in circuit | in circuit | | | | |
| in circuit | pasivizata | | | | |
| pasivizata | in circuit | | | | |
| $ I'_k + I''_k - I_k $ | $k = 1, 2$ | | | | $3\Delta I =$ |

3.3 Teorema reciprocitatii

Experimental, aceasta teorema se verifica pe retea din fig.1, masurînd curenții I_{21} (fig.4a), respectiv I_{12} (fig.4b).

Se verifica experimental relatia:

$$|I_{21} - I_{12}| \leq 2 \cdot \Delta I \quad (9)$$

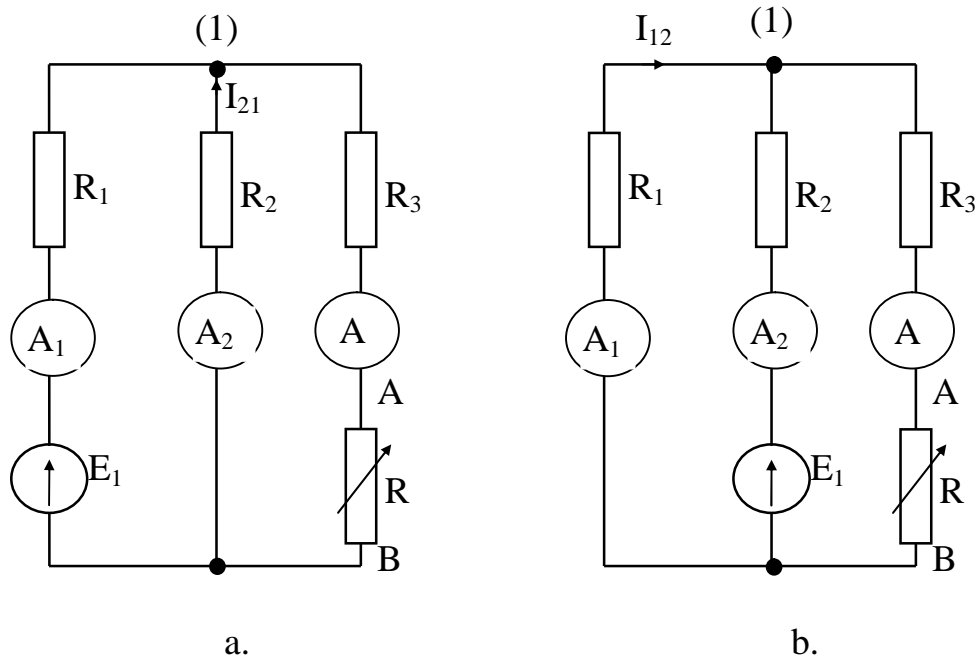


fig.5

3.4 Teoremele generatoarelor echivalente

Parametrii surselor echivalente se determina experimental din doua încercari:

-la functionarea în gol ($I=0$), se determina tensiunea U_{AB0} .

-la functionarea în scurtcircuit ($U=0$) se determina I_{ABsc} .

Folosind relatia (3) se calculeaza rezistenta R_{AB0} .

Se vor verifica relatiile:

$$I = \frac{E_g}{R + R_i} \quad U = \frac{I_g}{G + G_i} \quad (10)$$

Pentru rețeaua din fig.1, parametrii generatoarelor echivalente se calculează cu relațiile:

$$\begin{aligned} E_g &= \frac{R_2 \cdot E_1 + R_1 \cdot E_2}{R_1 + R_2} \\ R_i &= R_3 + \frac{R_1 \cdot R_2}{R_1 + R_2} \\ I_g &= \frac{R_2 \cdot E_1 + R_1 E_2}{R_1 \cdot R_2 + R_1 \cdot R_3 + R_2 \cdot R_3} \end{aligned} \quad (11)$$

Datele obținute se trec în tabelul 2.

Tabelul 2

| | VALORI MASURATE | | VALORI CALCULATE | | | |
|------------------------|-----------------|----------|-----------------------|-----------------------|-----------------------|-----------------------|
| | U [V] | I [A] | E _g [V] | I _g [A] | R _i [Ω] | G _i [S] |
| Functionare la gol | | | | | | |
| Functionare în sc | | | | | | |
| Functionare în sarcină | | | | | | |
| Cu rel. (11) | | | | | | |

3.6 Teorema conservării puterilor

În cazul rețelei din fig.1 rezulta:

$$P_g = E_1 \cdot I_1 + E_2 \cdot I_2 \quad (12)$$

$$P_r = R_1 \cdot I_1^2 + R_2 \cdot I_2^2 + (R_3 + R) \cdot I^2 \quad (13)$$

unde $R = \frac{U}{I}$

Experimental se verifică egalitatea $P_g = P_r$.

Cu datele obținute se completează tabelul 3.

Tabelul 3

| VALORI MASURATE | | | | VALORI CALCULATE | | |
|-----------------------|-----------------------|----------|----------|------------------|-----------------------|-----------------------|
| I ₁ [A] | I ₂ [A] | I [A] | U [V] | R [Ω] | P _g [W] | P _r [W] |
| | | | | | | |

GRUPAREA REZISTOARELOR

DIVIZORUL DE TENSIUNE. DIVIZORUL DE CURENT

1. Obiectivele lucrării:

- determinaarea rezistenței echivalente a unui circuit serie;
- costatarea experimentală a proprietăților relative la tensiunile și curenții din gruparea serie;
- determinarea rezistenței echivalente a unui circuit paralel;
- costatarea experimentală a proprietăților relative la tensiunile și curenții din gruparea paralel;
- identificarea unui circuit serie-paralel;
- determinarea rezistenței echivalente a unui circuit serie-paralel.

2. Considerații teoretice

2.1. Gruparea serie

Două sau mai multe rezistoare formează o grupare denumită *circuit serie* când sunt conectate una după alta, conform schemei din figura 1.

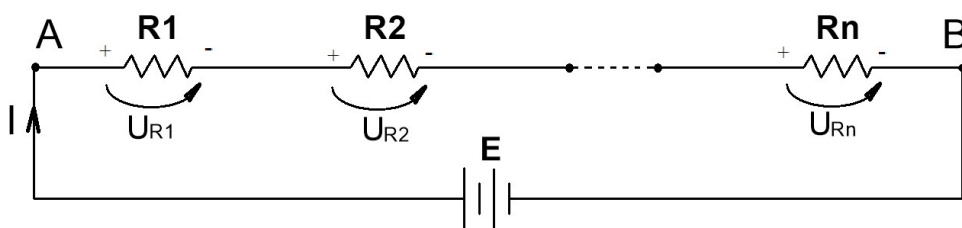


Fig.1. Gruparea serie a rezistoarelor

Un circuit serie de rezistoare alimentat de la o sursă de tensiune este caracterizată de următoarele proprietăți:

1. Intensitățile curenților electrici ce parcurg fiecare rezistor în parte sunt aceleași și egale cu intensitatea curentului electric prin bornele circuitului.

$$I = I_{R1} = I_{R2} = \dots = I_{Rn} \quad (1)$$

2. Suma căderilor de tensiune pe fiecare rezistor este egală cu tensiunea la bornele circuitului:

$$E = U_{R1} + U_{R2} + \dots + U_{Rn} \quad (2)$$

Aplicând legea lui Ohm pentru fiecare rezistor, se obține:

$$\begin{aligned} U_{R1} &= R_1 \cdot I \\ U_{R2} &= R_2 \cdot I \\ &\dots \\ U_{Rn} &= R_n \cdot I \end{aligned} \quad (3)$$

și folosind a doua proprietate, putem scrie:

$$E = R_1 \cdot I + R_2 \cdot I + \dots + R_n \cdot I \quad (4)$$

Împărțind relația (4) la I , obținem:

$$\frac{E}{I} = R_1 + R_2 + \dots + R_n \quad (5)$$

Raportul E/I reprezintă rezistența echivalentă a unei grupări serie de rezistoare.

Putem deci scrie:

$$R_e = R_1 + R_2 + \dots + R_n \quad (6)$$

Exemplu:

Pentru exemplificare, se va determina rezistența echivalentă, curentul și tensiunea pentru fiecare componentă a circuitului din figura 2.

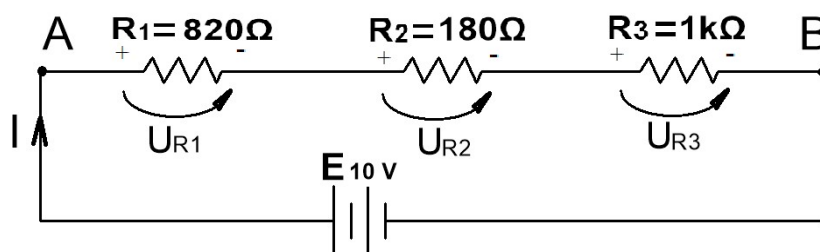


Fig.2. Grupare serie

1 – calculul rezistenței echivalente:

$$\begin{aligned} R_e &= R_1 + R_2 + R_3 \\ R_e &= 820\Omega + 180\Omega + 1000\Omega \\ R_e &= 2000\Omega \end{aligned}$$

2 – calculul curentului:

$$I = \frac{E}{R_e} \quad I = \frac{10V}{2000\Omega} = 5mA$$

3 – calculul căderilor de tensiune pe fiecare rezistor:

$$\begin{aligned} U_{Ri} &= R_i \cdot I \quad i = \overline{1, n} \\ U_{R1} &= R_1 \cdot I = 820\Omega \cdot 5 \cdot 10^{-3} A = 4,1V \\ U_{R2} &= R_2 \cdot I = 180\Omega \cdot 5 \cdot 10^{-3} A = 0,9V \\ U_{R3} &= R_3 \cdot I = 1000\Omega \cdot 5 \cdot 10^{-3} A = 5V \end{aligned}$$

Se observă că suma căderilor de tensiune pe fiecare rezistor este egală cu tensiunea la bornele circuitului.

Un circuit format din 2 sau mai multe rezistoare conectate în serie și alimentate de la o sursă de tensiune, cu scopul de a obține o tensiune mai mică decât tensiunea U de la bornele sistemului poartă numele de **divizor de tensiune**.

2.2. Gruparea paralel

Două sau mai multe rezistoare formează o grupare denumită *circuit paralel* când sunt conectate conform schemei din figura 3.

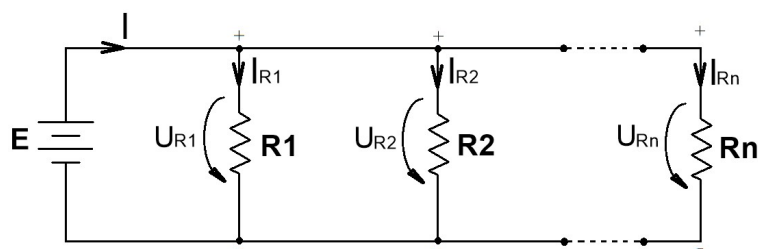


Fig.3. Gruparea paralel a rezistoarelor

Un circuit paralel de rezistoare alimentat de la o sursă de tensiune este caracterizată de următoarele proprietăți:

1. Căderile de tensiune pe fiecare rezistor au aceleași valori și sunt egale cu tensiunea la bornele circuitului.

$$E = U_{R1} = U_{R2} = \dots = U_{Rn} \quad (7)$$

2. Suma curenților parțiali (prin fiecare rezistor) este egală cu valoarea curentului total (prin bornele circuitului):

$$I = I_{R1} + I_{R2} + \dots + I_{Rn} \quad (8)$$

Se determină valoarea curentului în fiecare rezistor și anume:

$$I_{R1} = \frac{E}{R_1} \quad I_{R2} = \frac{E}{R_2} \quad \dots \quad I_{Rn} = \frac{E}{R_n} \quad (9)$$

Utilizând egalitatea din proprietatea a doua, putem scrie:

$$I = \frac{E}{R_1} + \frac{E}{R_2} + \dots + \frac{E}{R_n} \quad (10)$$

Împărțind relația (10) la E, obținem:

$$\frac{I}{E} = \frac{1}{R_1} + \frac{1}{R_2} + \dots + \frac{1}{R_n} \quad (11)$$

Raportul I/E reprezintă inversa rezistenței echivalente a unei grupări paralel. Putem scrie:

$$\frac{1}{R_e} = \frac{1}{R_1} + \frac{1}{R_2} + \dots + \frac{1}{R_n} \quad (12)$$

Cazuri particulare:

- 1 – N rezistoare cu rezistențe egale grupate în paralel:

$$\begin{aligned} \frac{1}{R_e} &= \frac{1}{R} + \frac{1}{R} + \dots + \frac{1}{R} \\ \frac{1}{R_e} &= N \cdot \frac{1}{R} \Rightarrow R_e = \frac{R}{N} \end{aligned} \quad (13)$$

- 2 – Două rezistoare grupate în paralel:

$$\begin{aligned} \frac{1}{R_e} &= \frac{1}{R_1} + \frac{1}{R_2} \\ \frac{1}{R_e} &= \frac{R_2 + R_1}{R_1 \cdot R_2} \Rightarrow R_e = \frac{R_1 \cdot R_2}{R_1 + R_2} \end{aligned} \quad (14)$$

adică rezistența echivalentă a unei grupări paralel formată din două rezistoare este egală cu produsul celor două rezistențe împărțite la suma acestora.

Pentru exemplificare, se va determina rezistența echivalentă, curenții prin fiecare rezistor și curentul total pentru circuitul din figura 4.

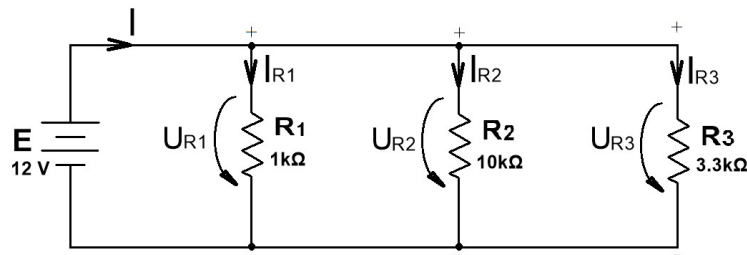


Fig.4. Grupare paralel

1 – calculul rezistenței echivalente:

$$\frac{1}{R_e} = \frac{1}{R_1} + \frac{1}{R_2} + \frac{1}{R_3}$$

$$\frac{1}{R_e} = \frac{1}{10^3} + \frac{1}{10 \cdot 10^3} + \frac{1}{3,3 \cdot 10^3} \Rightarrow R_e = 712,7\Omega$$

2 – calculul curenților parțiali:

$$I_{R1} = \frac{E}{R_1} \Rightarrow I_{R1} = \frac{12V}{10^3\Omega} = 12mA$$

$$I_{R2} = \frac{E}{R_2} \Rightarrow I_{R2} = \frac{12V}{10 \cdot 10^3\Omega} = 1,2mA$$

$$I_{R3} = \frac{E}{R_3} \Rightarrow I_{R3} = \frac{12V}{3,3 \cdot 10^3\Omega} = 3,6mA$$

3 – calculul curentului total:

$$I = \frac{E}{R_e} = \frac{12V}{712,7\Omega} = 16,8mA$$

Se observă că suma curenților parțiali este egală cu curentul total de la bornele circuitului.

Un circuit format din doua sau mai multe rezistoare conectate în paralel plasat într-o latură a unui circuit cu scopul de a se obține prin unul din elemente un curent mai mic decât curentul principal I poartă numele de **divizor de curent**.

2.3. Gruparea serie-paralel

Denumim circuit serie-paralel (sau mixt) un circuit format din grupări serie și paralel, în care se respectă toate proprietățile valabile pentru acestea. De exemplu, se presupun un circuit generic, ca în figura 5.

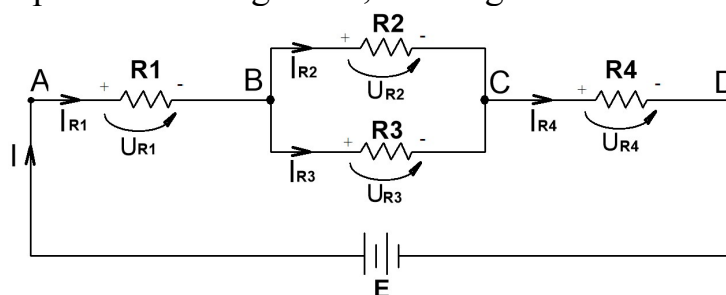


Fig.5. Gruparea mixtă a rezistoarelor

Curentul I furnizat la bornele circuitului de către sursa de tensiune parcurge rezistorul R_1 și în punctul B se divide în doi curenți I_{R2} și I_{R3} , cu valorile invers proporționale cu cele două rezistențe R_2 și R_3 . Acești curenți se însumează apoi în punctul C și parcurge rezistorul R_4 . Subdivizând circuitul se constată o grupare paralel compusă din R_2 și R_3 , ce formează cu R_1 și R_4 o grupare serie. Astfel, putem substitui gruparea formată din R_2 și R_3 printr-o rezistență echivalentă, conform figurii 6, unde:

$$R_{e1} = \frac{R_2 \cdot R_3}{R_2 + R_3} \quad (15)$$

Rezistența echivalentă a circuitului serie este:

$$R_e = R_1 + R_{e1} + R_4 \quad (16)$$

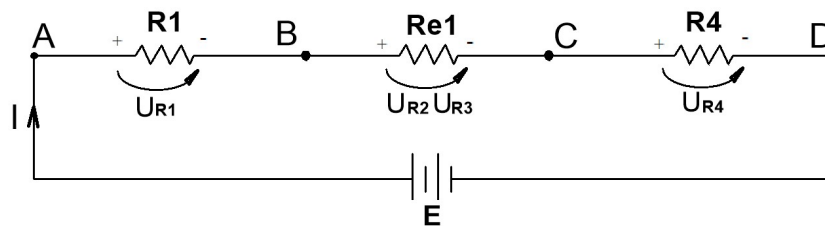


Fig.6. Gruparea serie echivalentă grupării mixte din fig. 5.

Pentru exemplificare, să se determine rezistența echivalentă, curentul total, curenții și tensiunile pentru fiecare componentă de circuit din figura 7.

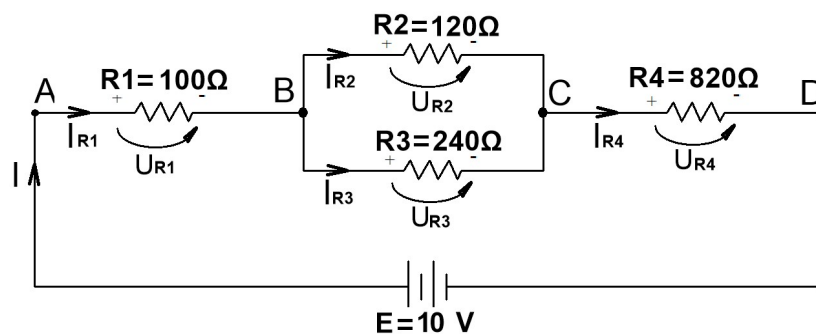


Fig.7. Gruparea mixtă

1 – calculul rezistenței echivalente:

$$R_e = 100\Omega \cdot \frac{120\Omega \cdot 240\Omega}{120\Omega + 240\Omega} + 820\Omega = 1k\Omega$$

2 – calculul curentului total:

$$I = \frac{E}{R_e} = \frac{10V}{10^3\Omega} = 10mA$$

3 – calculul tensiunilor parțiale:

$$U_{R1} = R_1 \cdot I = 100\Omega \cdot 10 \cdot 10^{-3} A = 1V$$

$$U_{R2} = U_{R3} = R_{e1} \cdot I = \frac{120\Omega \cdot 240\Omega}{120\Omega + 240\Omega} \cdot 10 \cdot 10^{-3} A = 0,8V \text{ (proprietate a circuitului paralel)}$$

$$U_{R4} = R_4 \cdot I = 820\Omega \cdot 10 \cdot 10^{-3} A = 8,2V$$

4 – calculul curenților parțiali:

$$I_{R1} = I_{R4} = 10mA \text{ (proprietate a circuitului serie)}$$

$$I_{R2} = \frac{U_{R2}}{R_2} = \frac{0,8V}{120\Omega} = 6,7mA$$

$$I_{R3} = \frac{U_{R3}}{R_3} = \frac{0,8V}{240\Omega} = 3,3mA$$

3. Procedeu experimental

Material experimental:

- sursă de tensiune continuă reglabilă
- rezistoare: 29 Ω , 75 Ω , 190 Ω , 440 Ω
- multimetru

1. Se realizează montajul din figura 8.

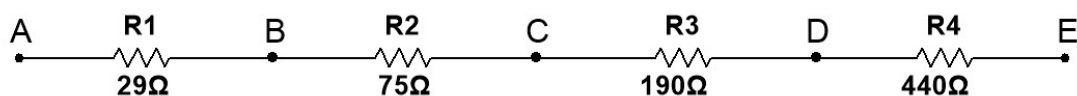


Fig.8.

Se măsoară, se calculează și se notează în tabelul 1 rezistența echivalentă între punctele A și E.

Tabelul 1.

| | |
|---|--|
| Rezistența măsurată R_{eAE} [Ω] | |
| Rezistența calculată R_{eAE} [Ω] | |

2. Se fixează tensiunea continuă la valoarea de 40 V și se alimentează circuitul conform schemei din figura 9.

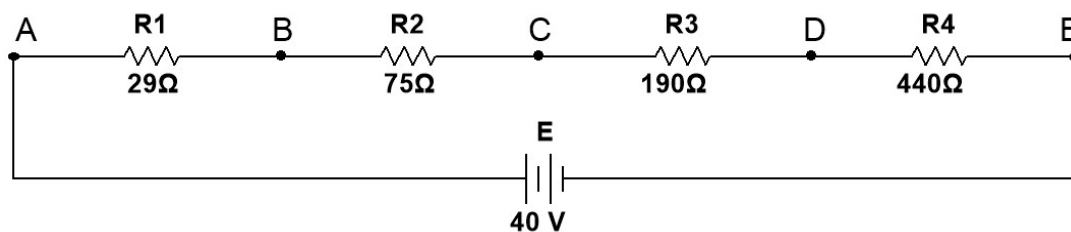


Fig.9.

3. Se măsoară și se calculează curentul în fiecare punct din circuit, tensiunea la bornele fiecărui rezistor și se notează rezultatele în tab. 2, respectiv tab. 3.

Tabelul 2.

| Curentul | I_A [A] | I_B [A] | I_C [A] | I_D [A] | I_E [A] |
|----------|-----------|-----------|-----------|-----------|-----------|
| măsurat | | | | | |
| calculat | | | | | |

Tabelul 3.

| R [Ω] | 29 | 75 | 190 | 440 |
|--------------------|----|----|-----|-----|
| $U_{măsurat}$ [V] | | | | |
| $U_{calculat}$ [V] | | | | |

4. Se realizează circuitul din figura 10.

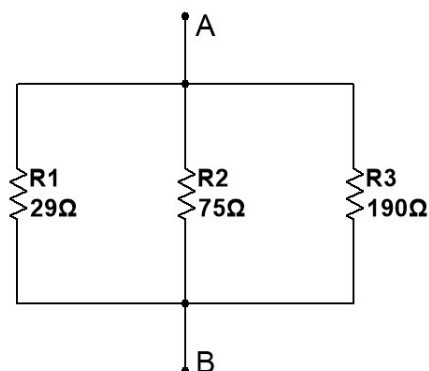


Fig.10.

Se măsoară, se calculează și se notează în tabelul 4 rezistența echivalentă între punctele A și B.

Tabelul 4.

| | |
|---|--|
| Rezistența măsurată R_{eAB} [Ω] | |
| Rezistența calculată R_{eAB} [Ω] | |

5. Se alimentează circuitul cu o tensiune continuă de 40 V, conform schemei din figura 11.

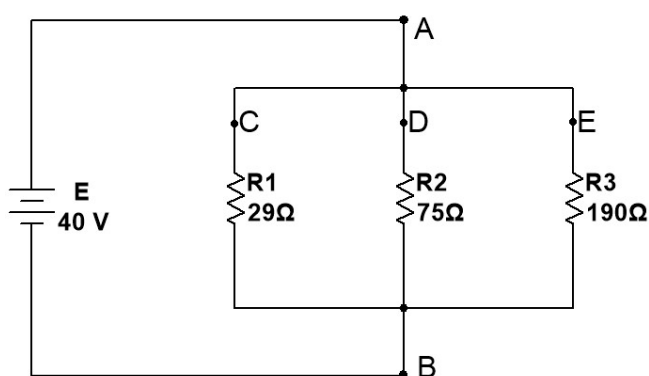


Fig.11.

6. Se măsoară și se calculează curentul în fiecare punct din circuit, tensiunea la bornele fiecărui rezistor și se trec rezultatele în tabelul 5, respectiv tabelul 6.

Tabelul 5.

| Curentul | I_A [A] | I_B [A] | I_C [A] | I_D [A] | I_E [A] |
|----------|-----------|-----------|-----------|-----------|-----------|
| măsurat | | | | | |
| calculat | | | | | |

Tabelul 6.

| R [Ω] | 29 | 75 | 190 |
|--------------------|----|----|-----|
| $U_{măsurat}$ [V] | | | |
| $U_{calculat}$ [V] | | | |

7. Se realizează circuitul din figura 12.

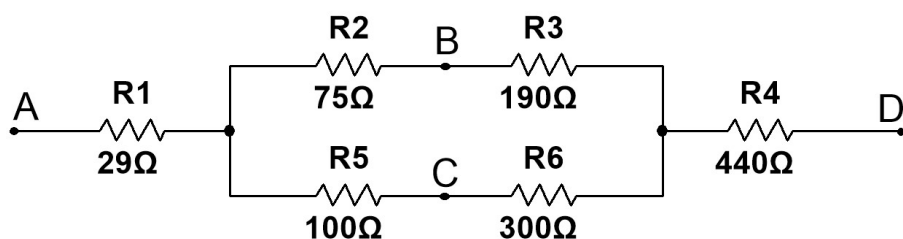


Fig.12.

Se măsoară, se calculează și se notează în tabelul 7 rezistența echivalentă între punctele A și D.

Tabelul 7.

| | |
|---|--|
| Rezistența măsurată R_{eAD} [Ω] | |
| Rezistența calculată R_{eAD} [Ω] | |

8. Se reglează valoarea tensiunii sursei la valoarea de 40 V și se alimentează circuitul conform schemei din figura 13.

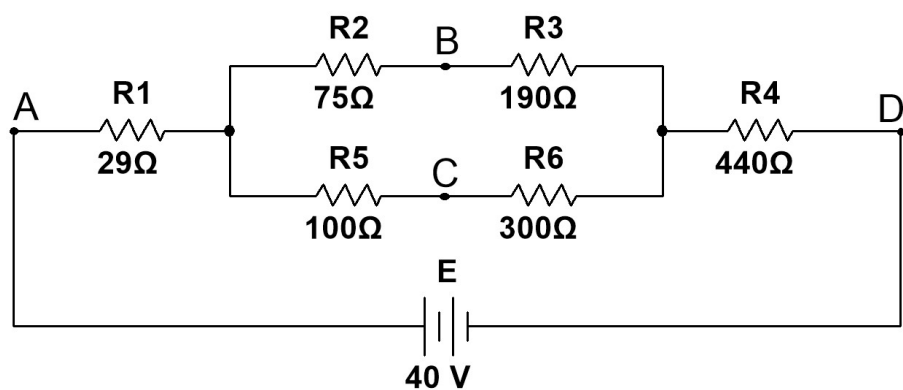


Fig.13.

9. Se măsoară curenții în fiecare punct din circuit, tensiunea la bornele fiecărui rezistor și se notează rezultatele în tabelul 8, respectiv tabelul 9.

Tabelul 8.

| Curentul | I_A [A] | I_B [A] | I_C [A] | I_D [A] |
|----------|-----------|-----------|-----------|-----------|
| măsurat | | | | |
| calculat | | | | |

Tabelul 9.

| R [Ω] | 29 | 75 | 100 | 190 | 300 | 440 |
|--------------------|----|----|-----|-----|-----|-----|
| $U_{măsurat}$ [V] | | | | | | |
| $U_{calculat}$ [V] | | | | | | |